

# インフレーション宇宙の痕跡を探す！ - CMB偏光の精密観測実験

QUIET collaboration photo  
Jun. 2009 at Fermilab



田島 治

高エネルギー加速器研究機構 (KEK)

# インフレーション宇宙の痕跡を探す！

## – CMB偏光の精密観測実験

Contents:

- インフレーション宇宙とCMB偏光の「Bモード」
- Bモードをどうやって、観測するのか？
- 最近のBモード結果と展望
- まとめ

QUIET実験の  
話題を中心に

田島 治

高エネルギー加速器研究機構 (KEK)

# History of the Universe

Today

高エネルギー物理の歴史  
⇔ 遠い昔の宇宙を見る

Reheating  
(ビッグバン)

インフレーション

Ultimate  
Theory ?

Observation of Inflationary Epoch

**Very Exiting Experiment !!**

Inflation potential :

$$V^{1/4} = 1.06 \times 10^{16} \times \left( \frac{r}{0.01} \right)^{1/4} \text{ GeV}$$

Parameterized with " r " : tensor-scalar ratio (T/S)

**$10^{16}$  GeV ⇔ GUT scale !!**

大統一理論のエネルギースケール

Key:

W, Z bosons	meson
q quark	baryon
g gluon	ion
e electron	atom
m muon	black hole
t tau	
n neutrino	

# History of the Universe

Today

原始重力波  
Primordial gravitational waves (PGW)

インフレーション

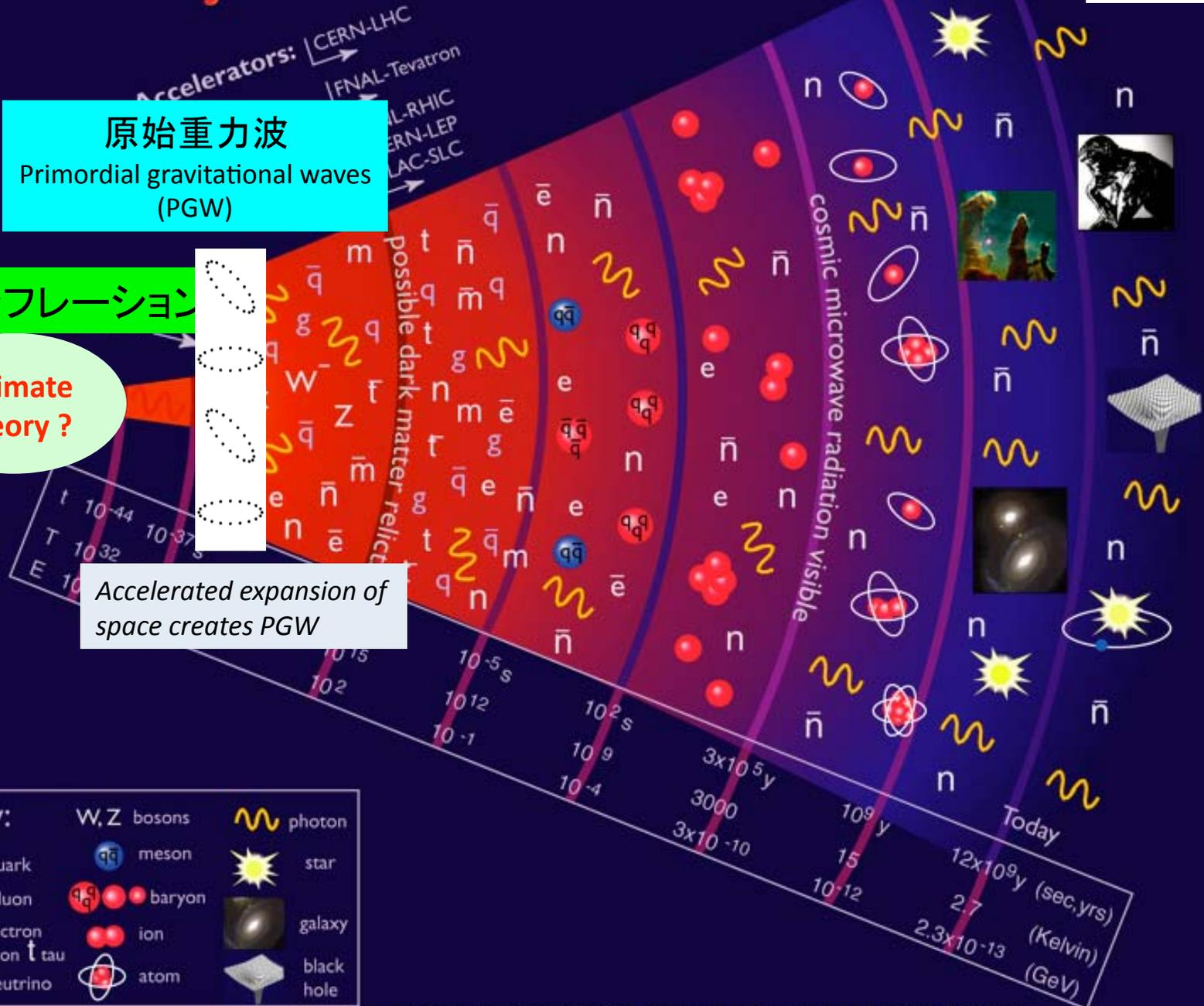
Ultimate Theory ?



Accelerated expansion of space creates PGW

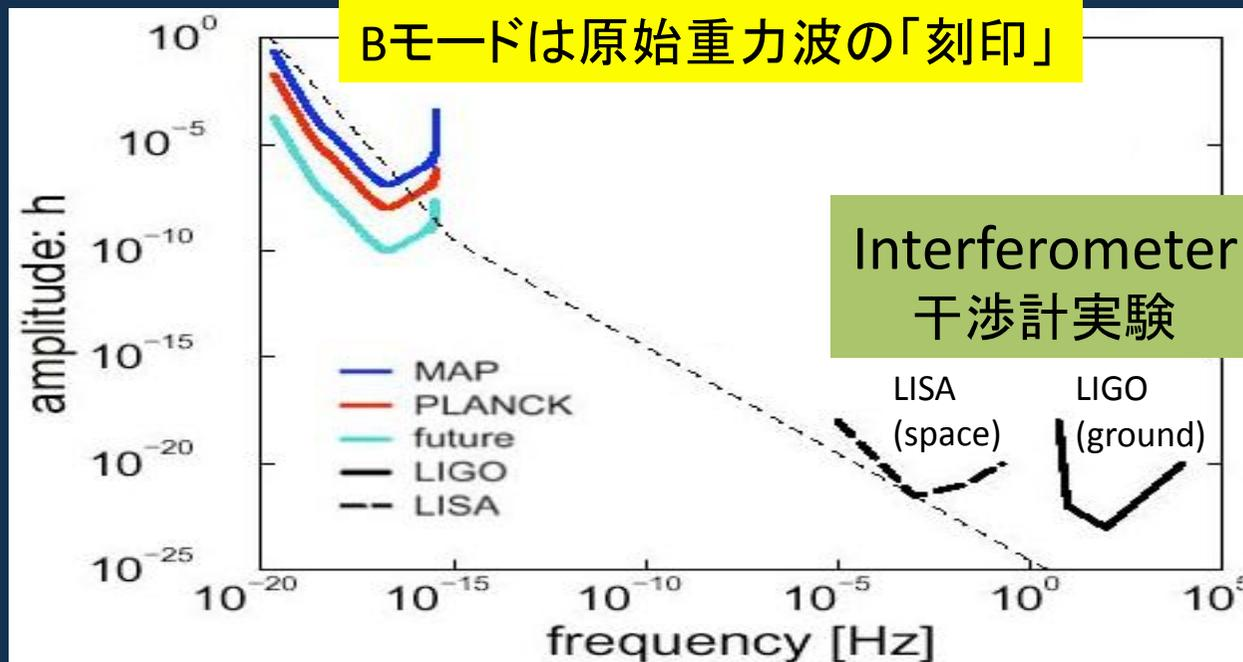
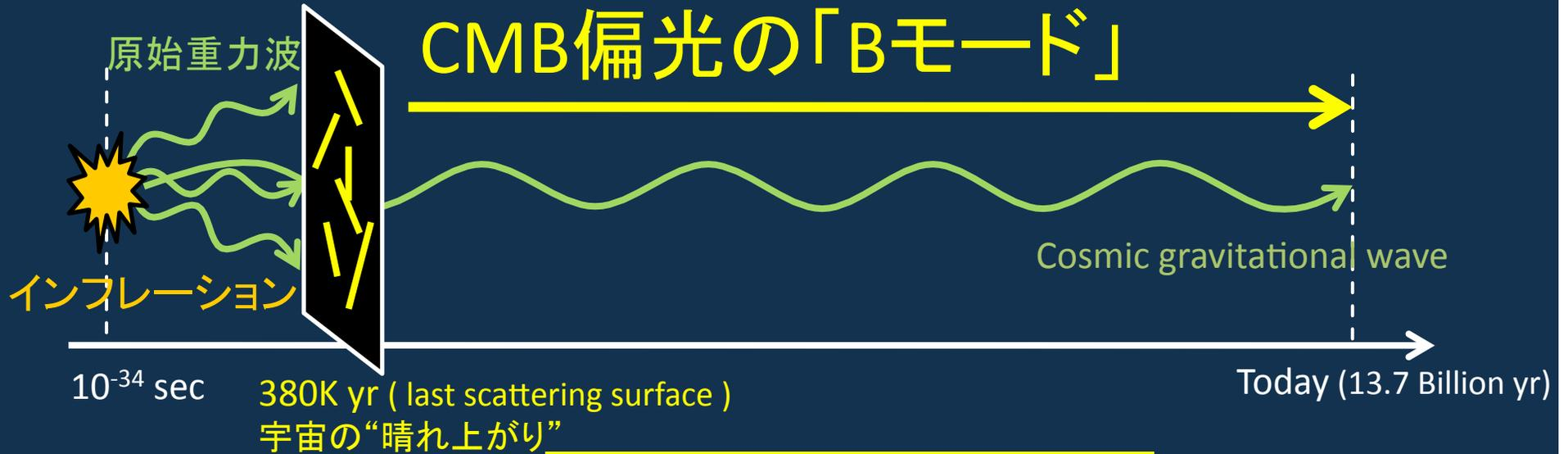
Key:

W, Z bosons		photon	
q quark		meson	
g gluon		baryon	
e electron		ion	
m muon		atom	
t tau		star	
n neutrino		galaxy	
		black hole	



# 原始重力波を観測する2つのアプローチ

## CMB偏光の「Bモード」



# History of the Universe

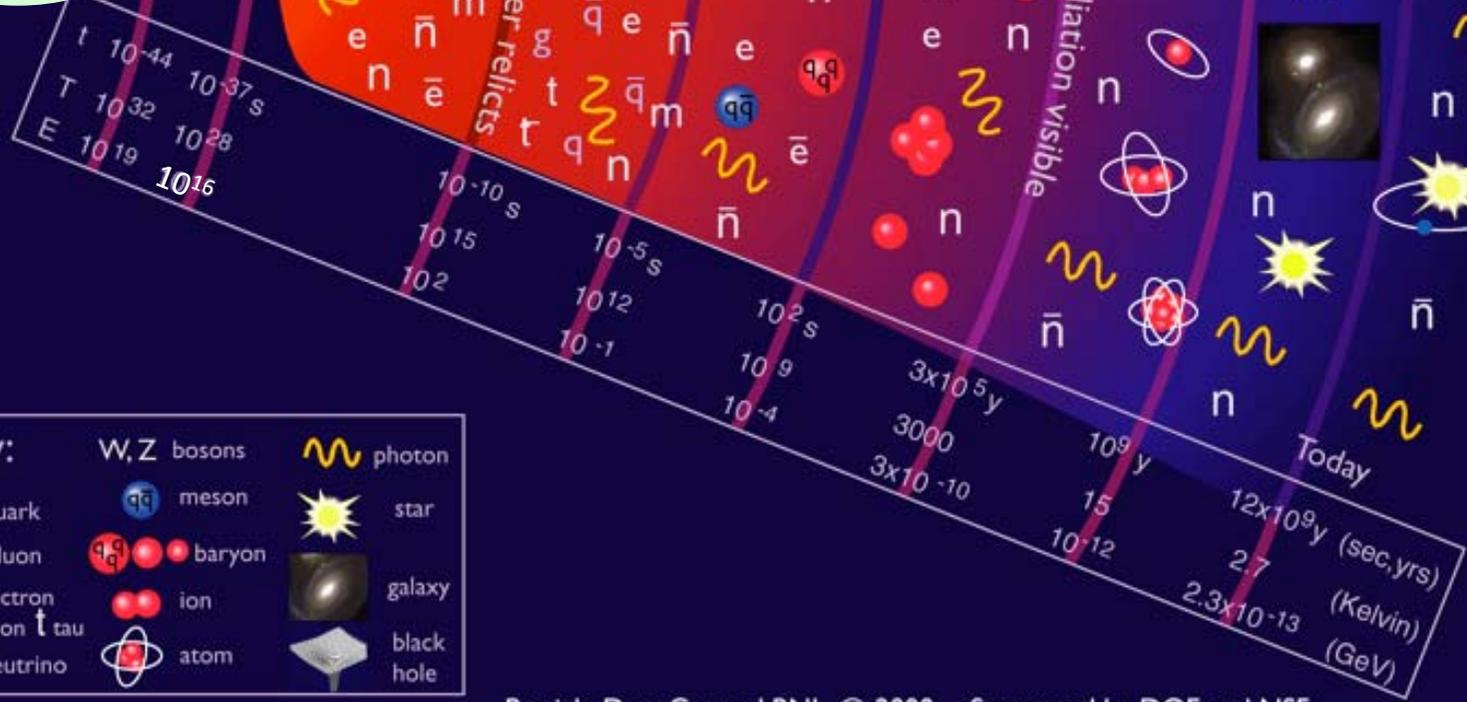
Today

Accelerators: CERN-LHC  
 FNAL-Tevatron  
 RHIC  
 SLAC  
 KEK-LEP  
 DESY-SLC

Reheating  
 (ビッグバン)

インフレーション

Ultimate Theory ?

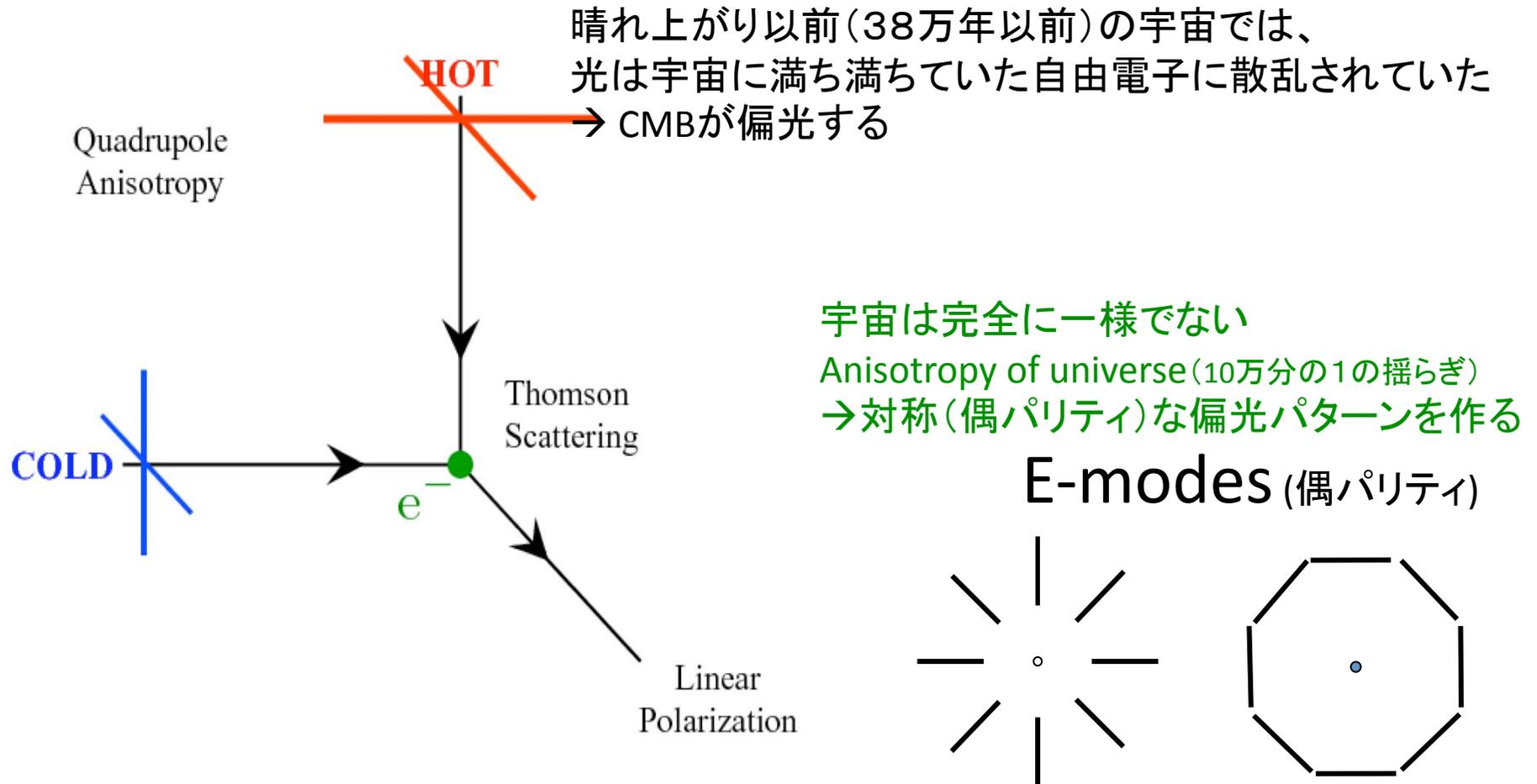


Key:

W, Z bosons	meson	photon
quark	baryon	star
gluon	ion	galaxy
electron	atom	black hole
muon		
tau		
neutrino		

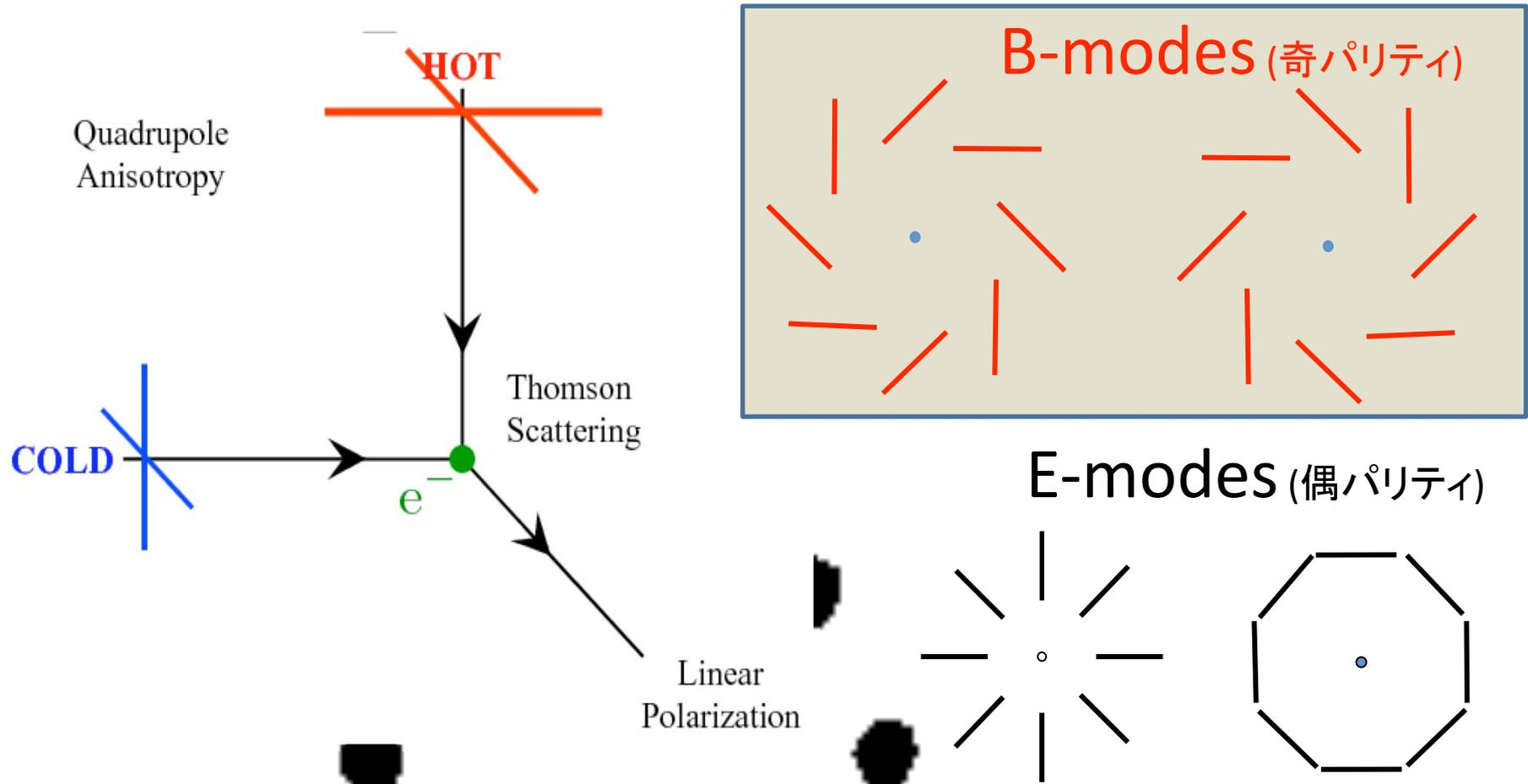
# もし、原始重力波がなかったら？

## E-modes only

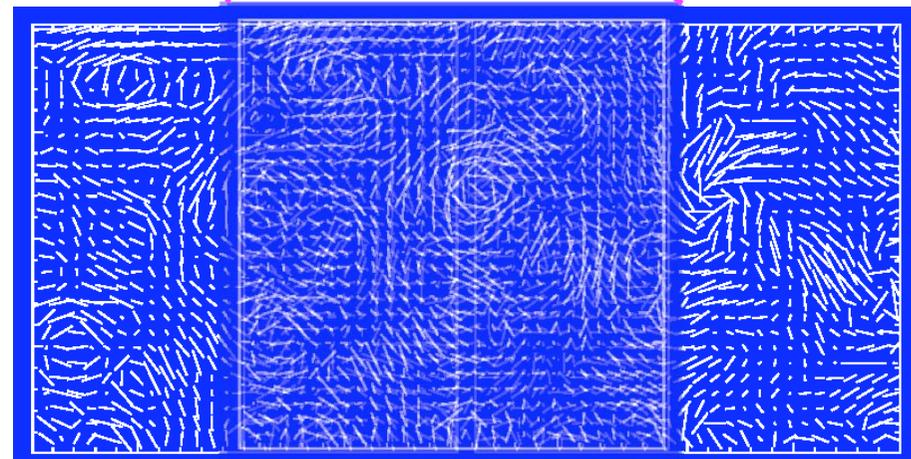
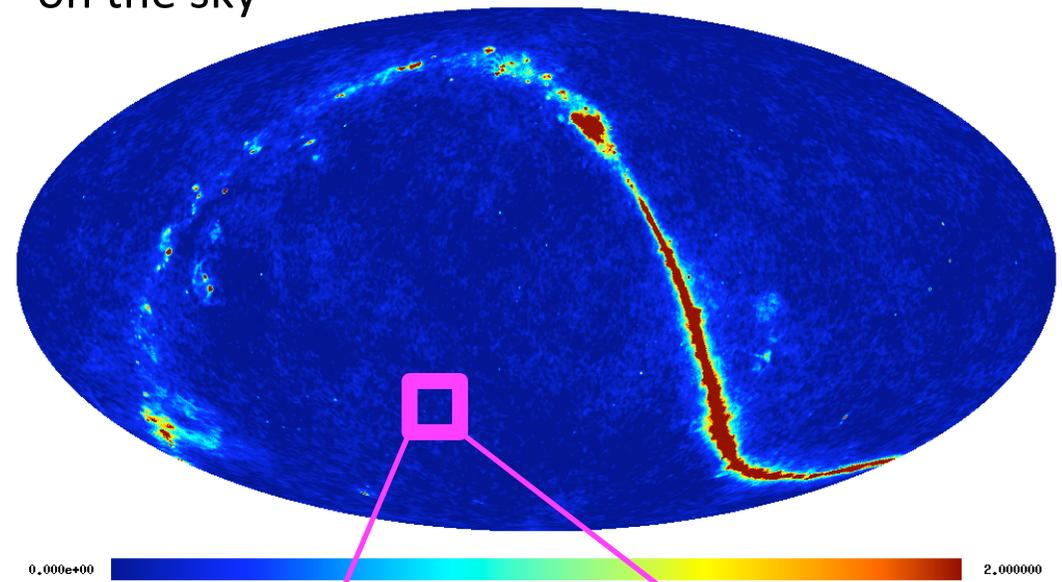


# 原始重力波があれば...

Bモードは原始重力波(⇔インフレーション)の決定的証拠



Since B-modes are pattern in CMB polarization, experimental approach is;  
1. Measure CMB polarization “map” on the sky

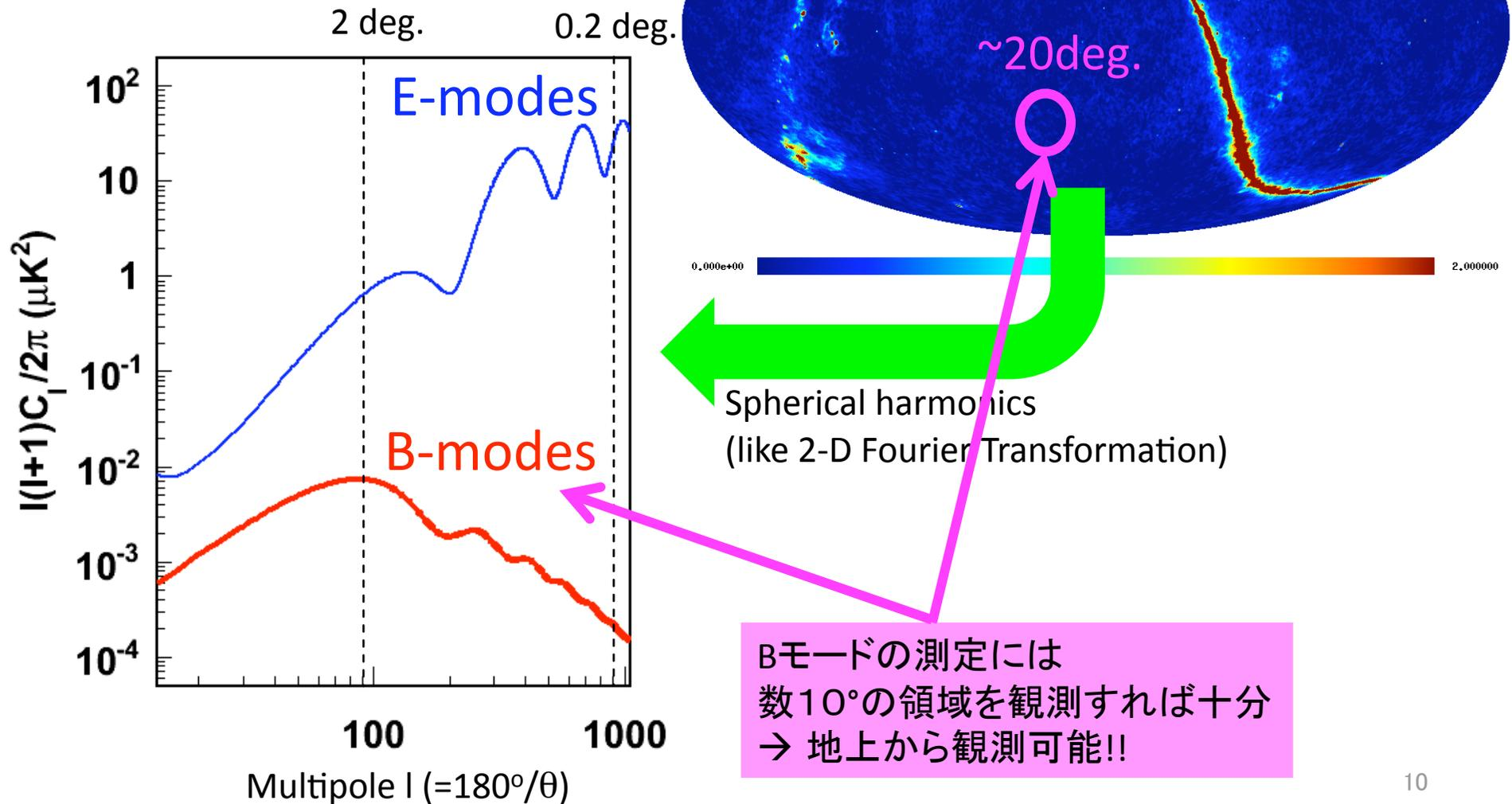


E-modes

B-modes

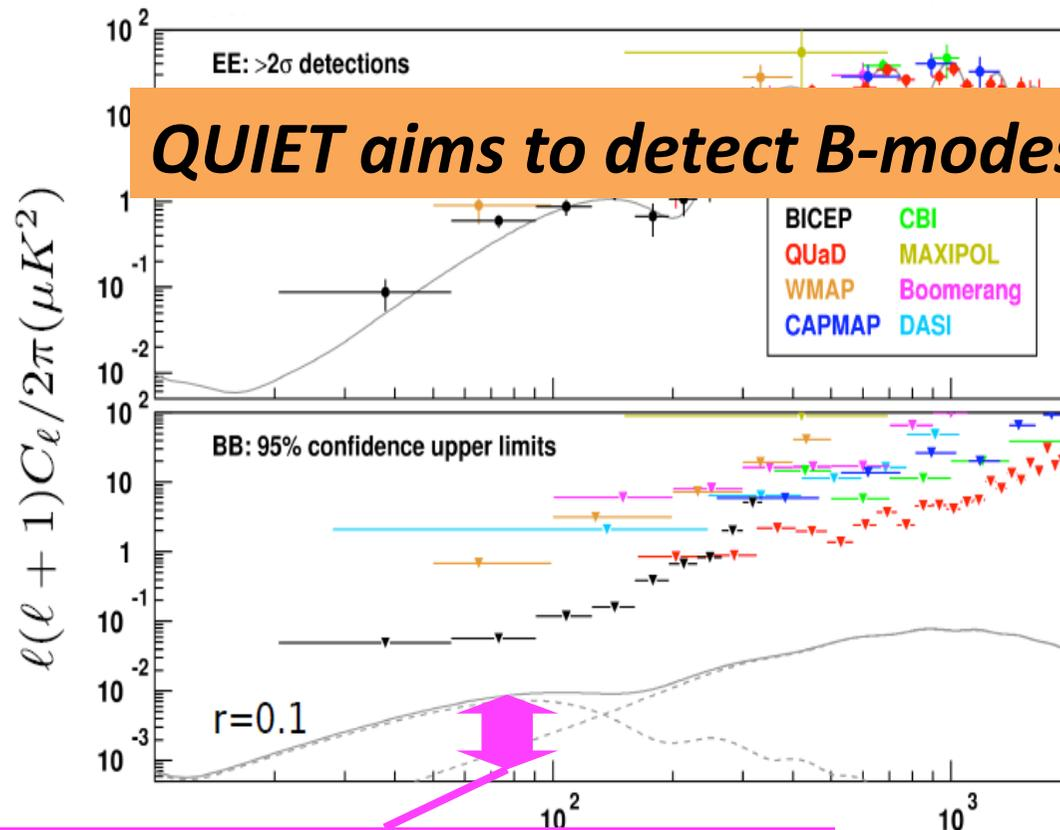
Since B-modes are pattern in CMB polarization, experimental approach is;

1. Measure CMB polarization “map” on the sky
2. Characterize them in Fourier space



# これまでのBモード探索結果

最新の検出器を搭載できる、地上実験が発見競争を牽引している！



**QUIET aims to detect B-modes from ground !**

インフレーションの証拠！

B-modes  
(U.L. 95% C.L.)

Direct bound  
 $r < 0.7$  (BICEP)

Regions favored by many  
inflationary models  $r = 0.01 \sim 0.1$   
 $r = T/S$  : Tensor-Scalar ratio

et al, 0906.1181

$$V^{1/4} = 1.06 \times 10^{16} \times \left(\frac{r}{0.01}\right)^{1/4} \text{ GeV}$$

# The QUIET Collaboration

5 countries, 14 institutes, ~35 scientists

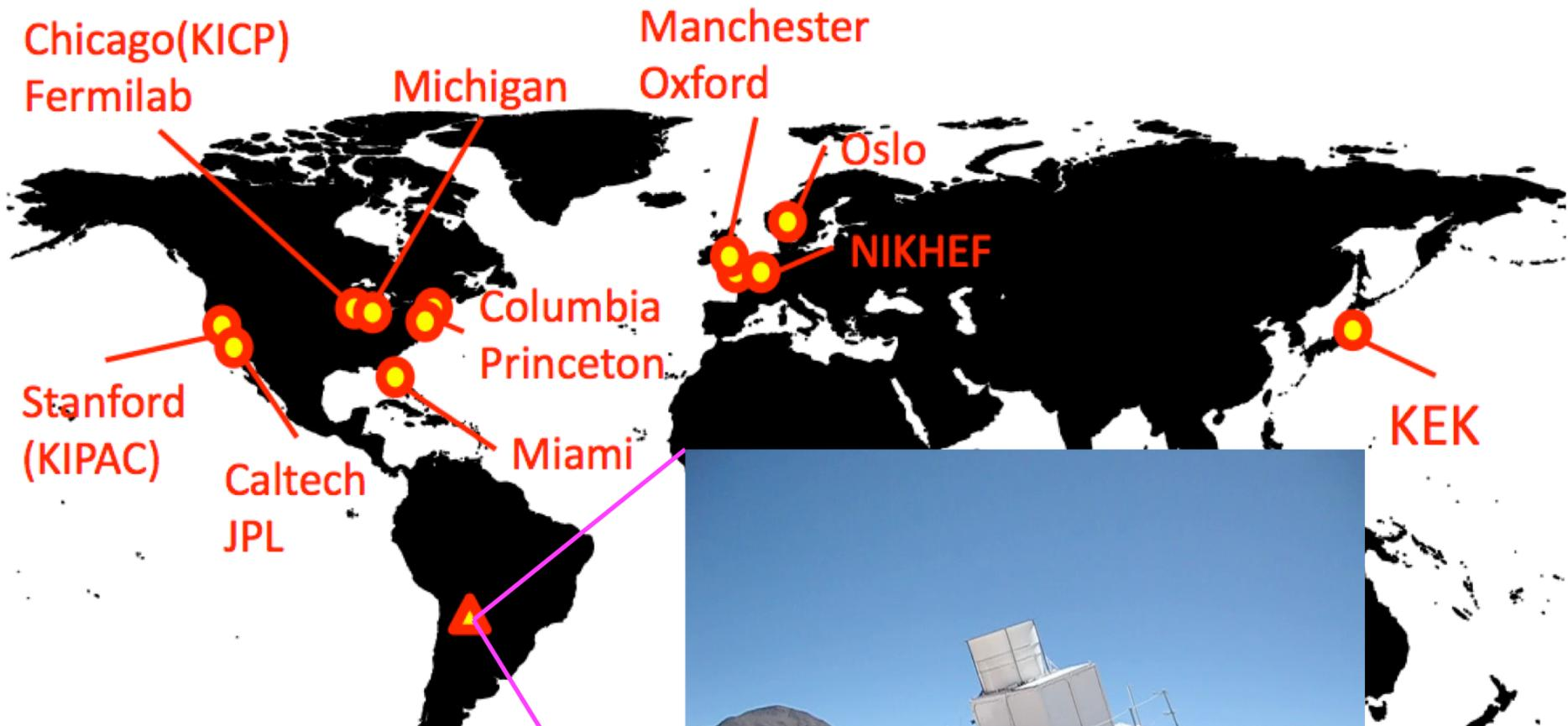


QUIET collaboration photo  
Jun. 2009 at Fermilab



# The QUIET Collaboration

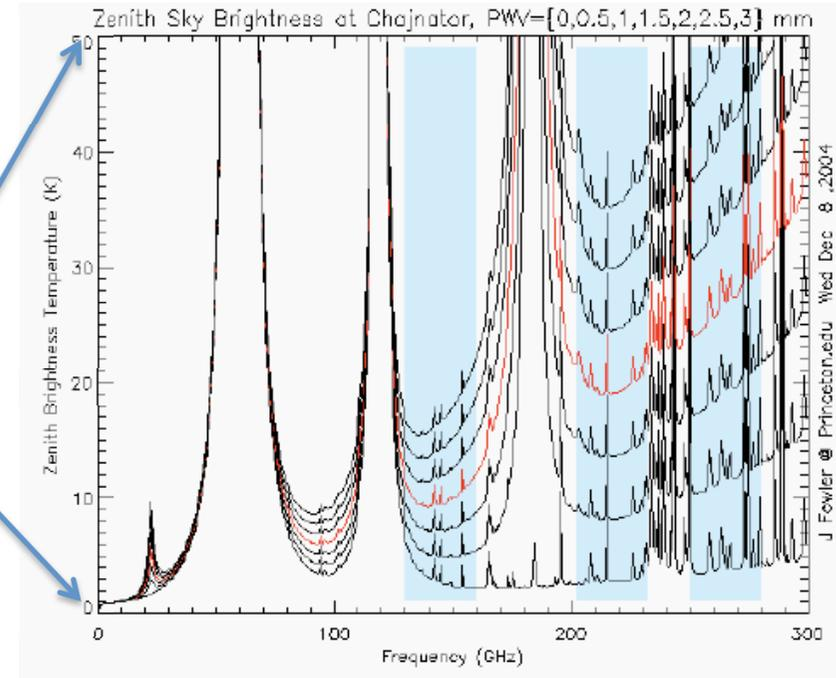
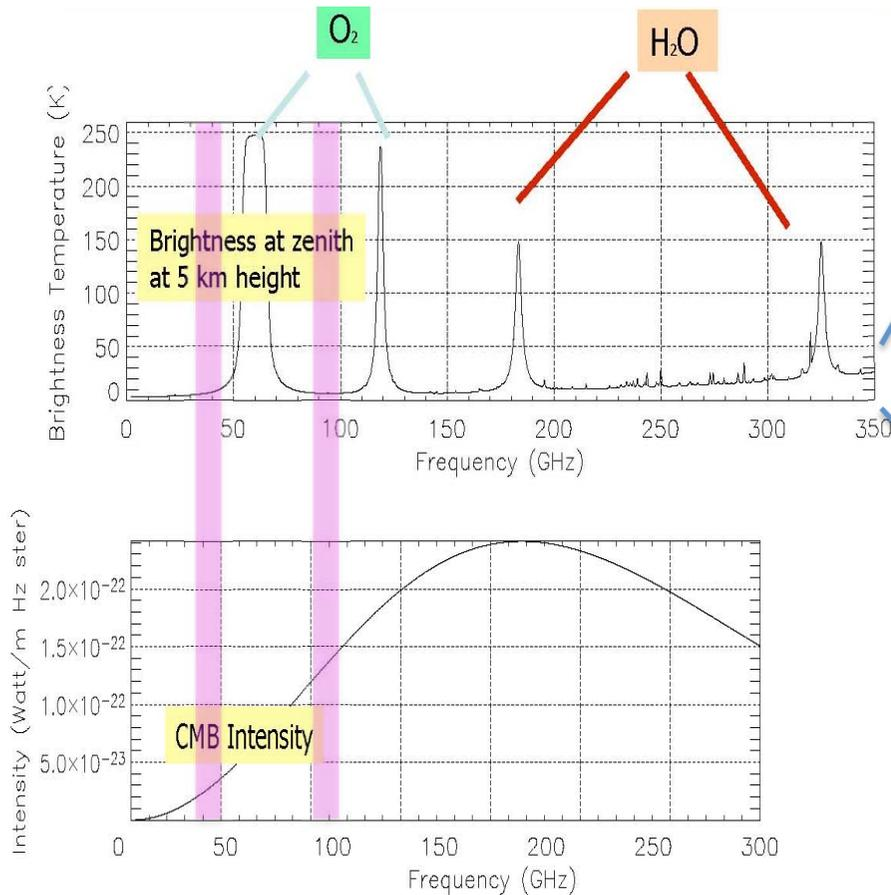
5 countries, 14 institutes, ~35 scientists



QUIET-1 observation:  
Oct. 2008 – Dec. 2010  
チリ・アタカマ高地(5,080m)



# なぜこんなところで観測するかというと

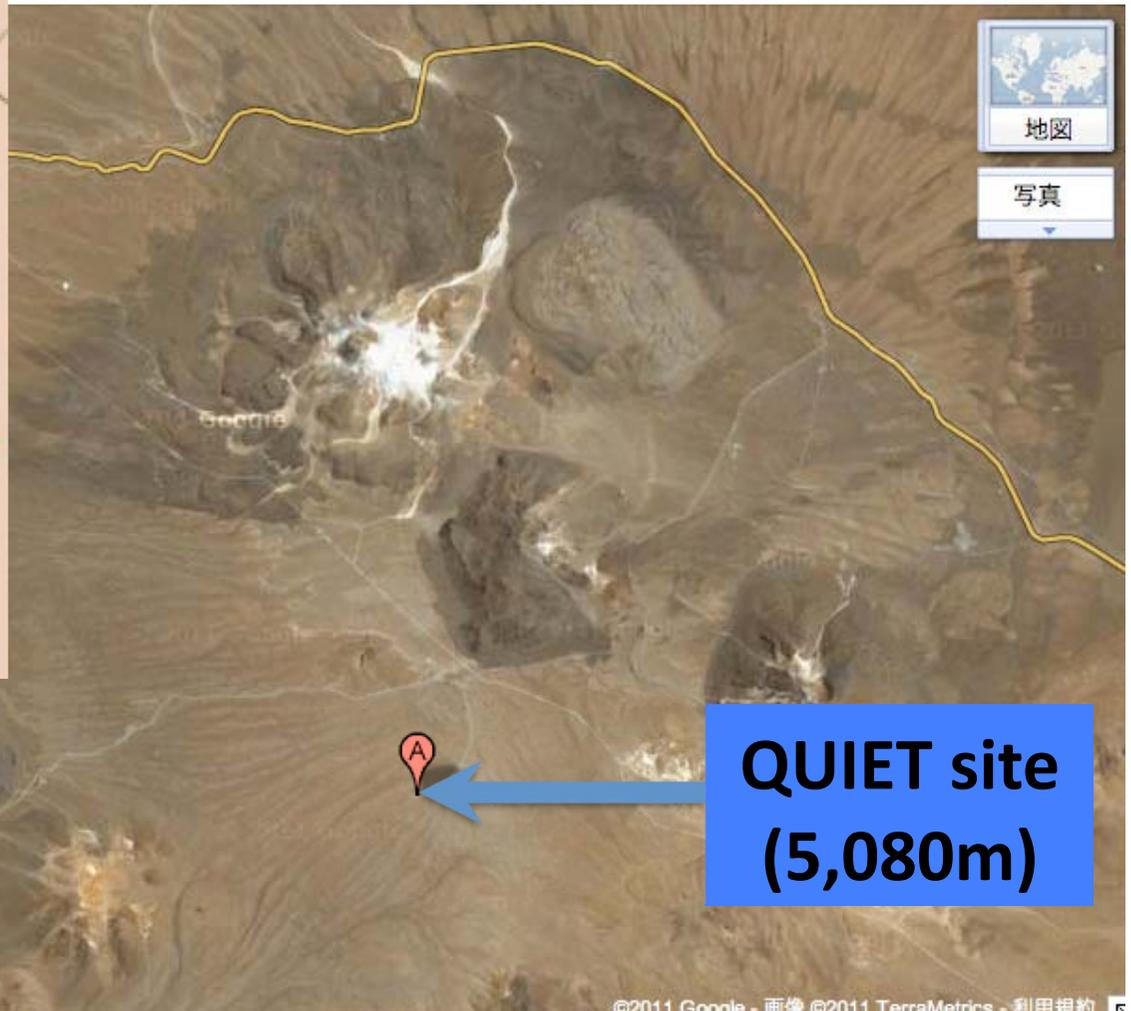


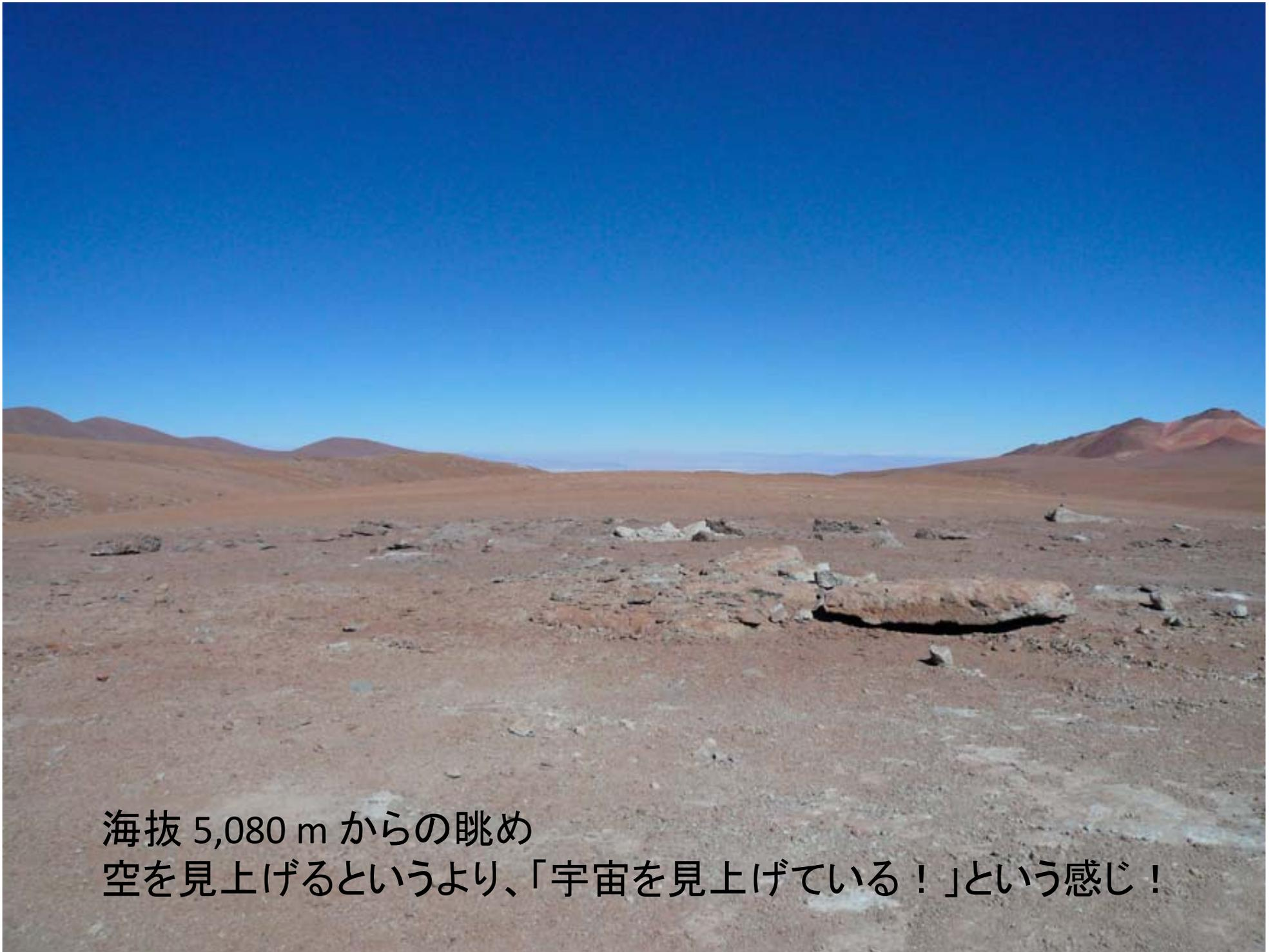
- 大気の輻射熱は周波数依存大
- 酸素、水の吸収線の間をぬって観測
- Tailの寄与があるので、  
空気が薄く、乾燥した場所が良い

Chile Atacamaは地上で最もCMB観測に適した場所！  
QUIETではQ-band(43GHz帯)とW-band(95GHz帯)を観測する

$$l(l+1)C_l/2\pi \ (\mu\text{K}^2)$$

# QUIET observation site





海拔 5,080 m からの眺め  
空を見上げるというより、「宇宙を見上げている！」という感じ！

# Beautiful Sky at 5,080m



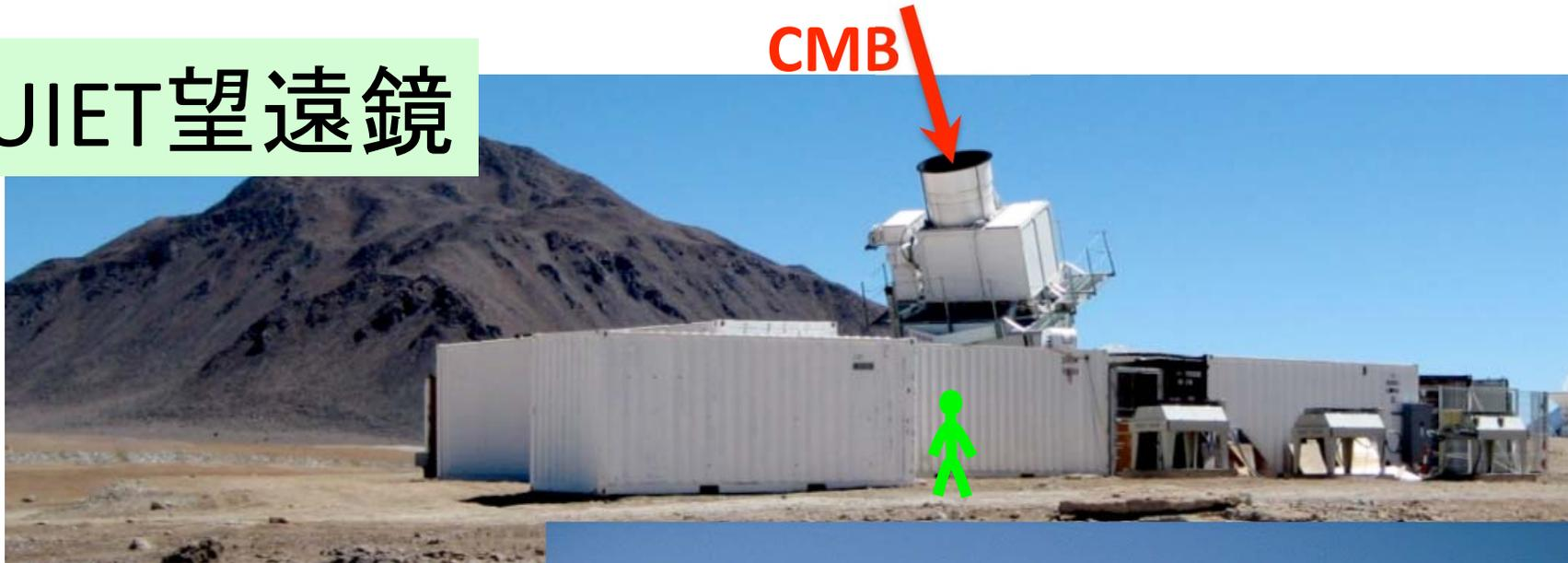
ふもと町(2,400m)のレストランにて



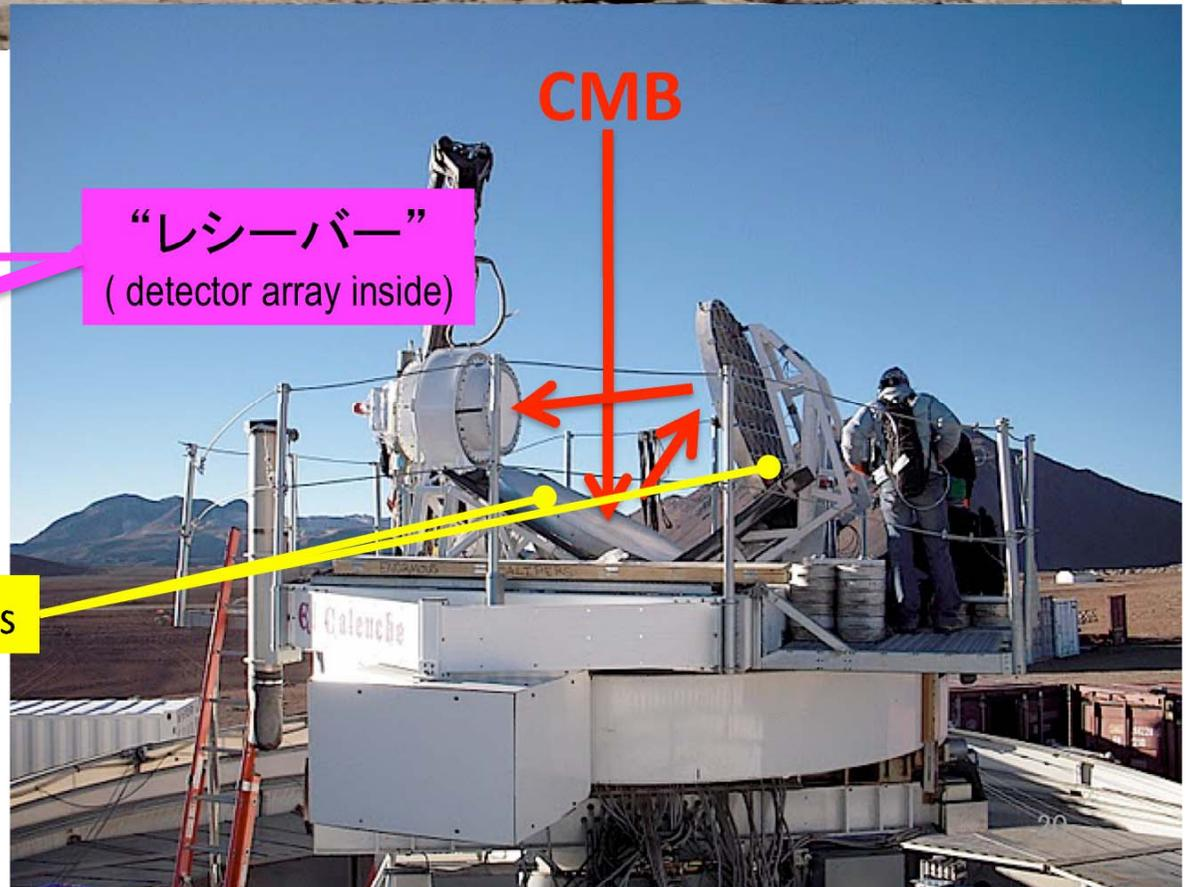
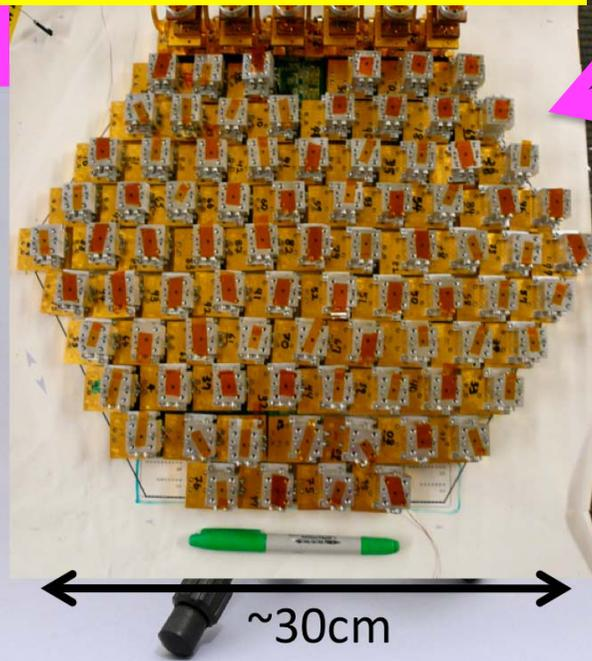


ふもと町(海拔2,400m)から5,000m級の山々を見上げる  
地平線の下から、照らされる夕日に映える山々

# QUIET望遠鏡



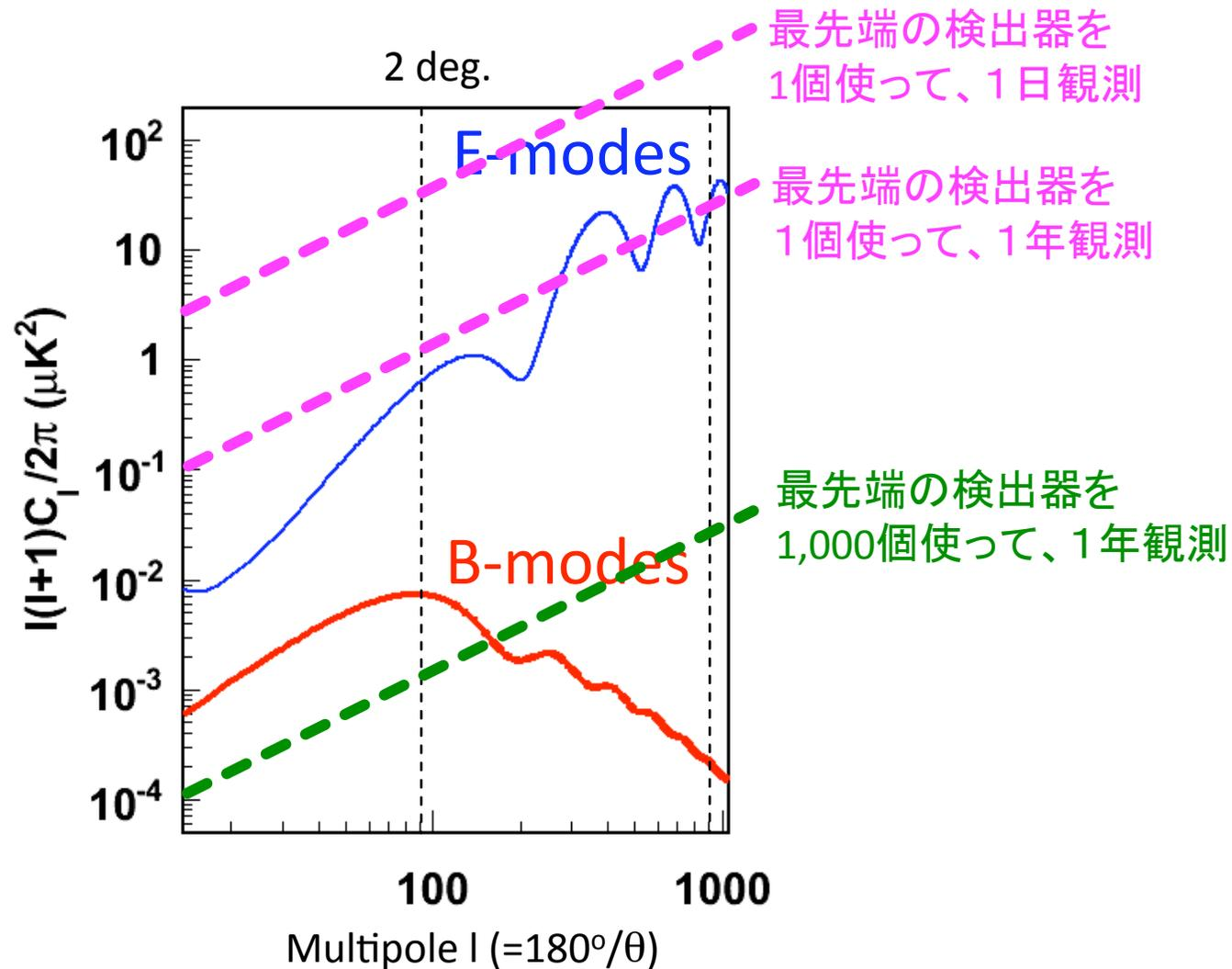
QUIET偏光検出器  
90 detectors array at 95 GHz



# “Detector Array” is essential

無偏光成分

検出器1個の性能はCMB(3K)自身の熱雑音で頭打ちされている



Large number of detectors

# “Detector Array” is essential

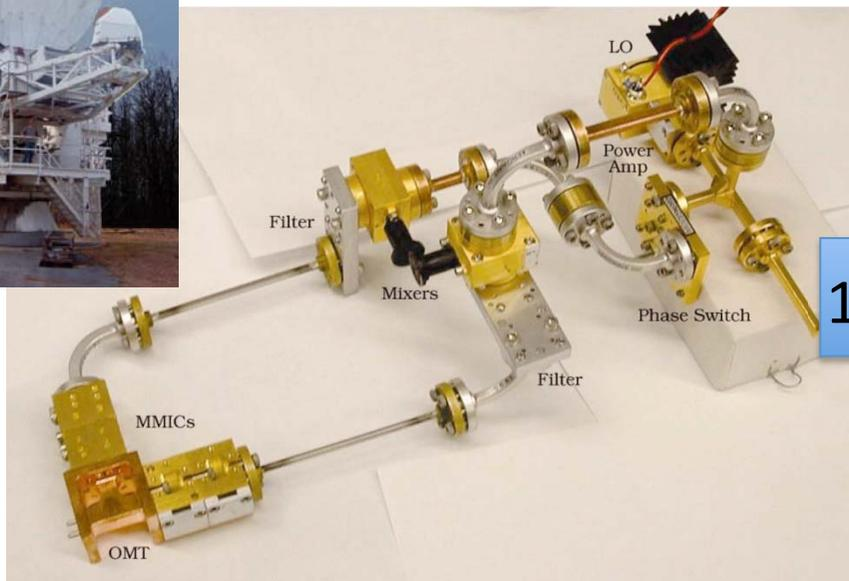
for all CMB-pol. experiments

Limitation of single detector sensitivity

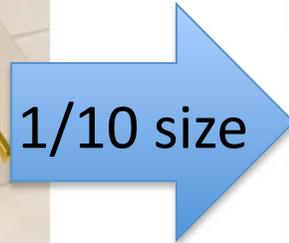
Mo Several hundreds ~ thousand detectors are necessary to cover inflationary model favored region:  $r \sim 0.01$   
 $\Leftrightarrow$  QUIET-1 is intermediated phase to proof of technology



CAPMAP (2003-2005)  
偏光検出器 at 95GHz



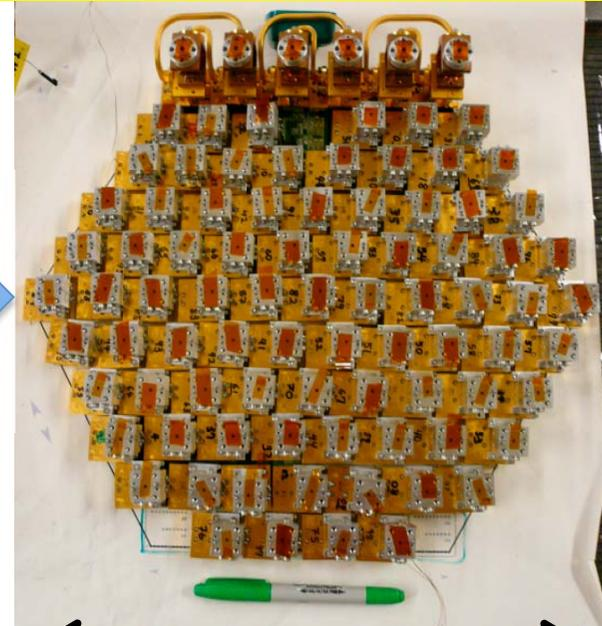
~30cm



1/10 size

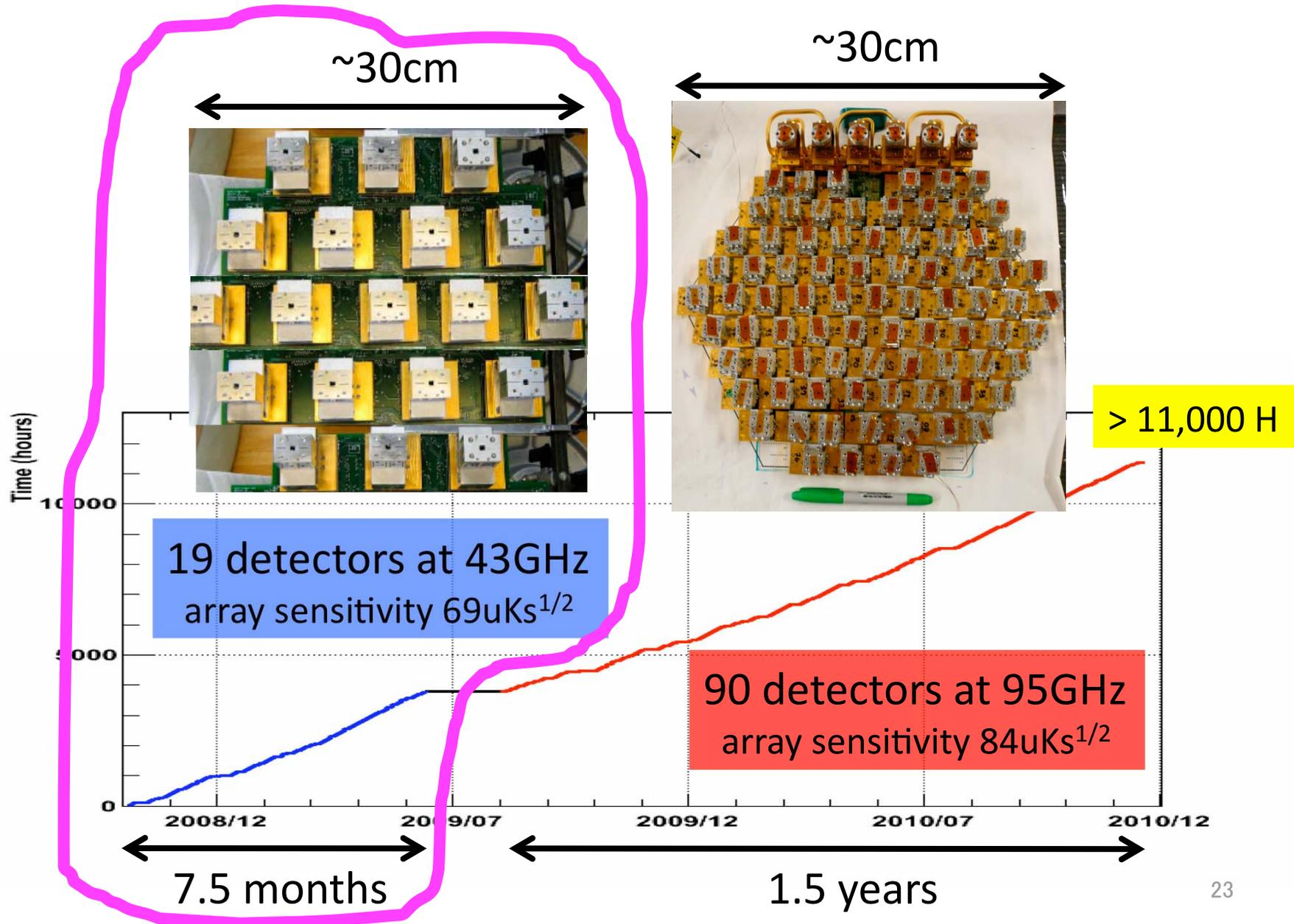
QUIET-1 (2008-2010)

90 detectors array at 95 GHz



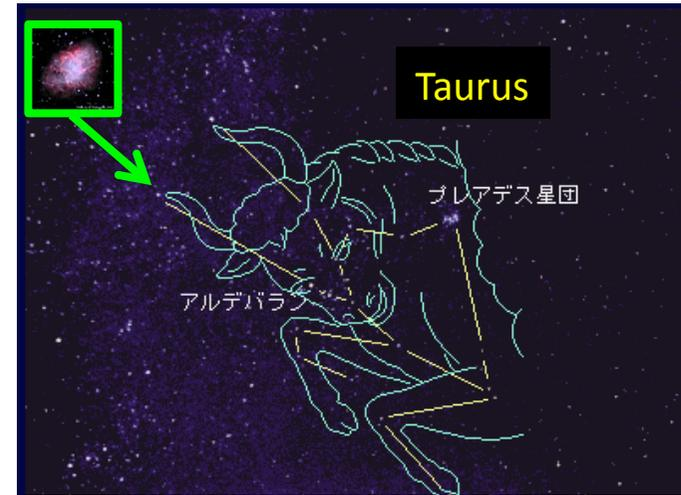
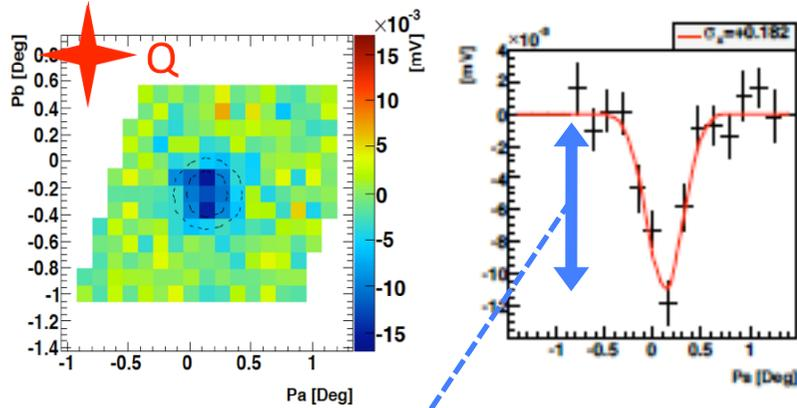
~30cm

# QUIET-1 観測履歴 @ チリ・アタカマ (5,080m)

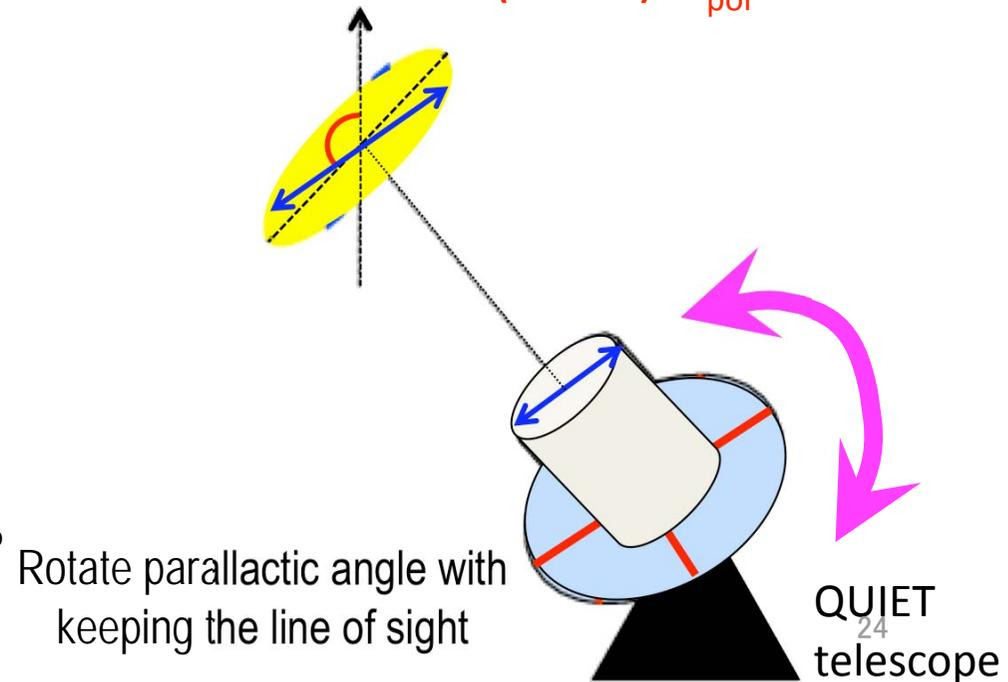
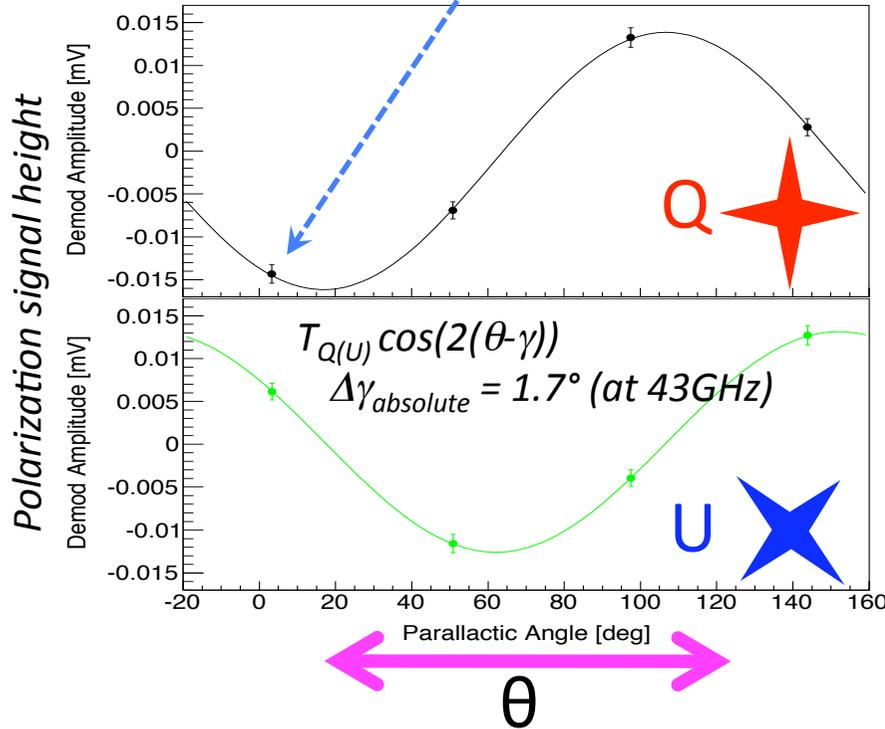


# 偏光検出器のキャリブレーション

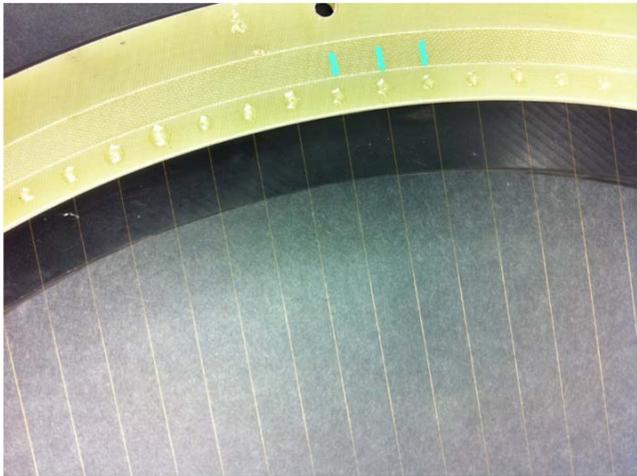
~4 min scan time for each



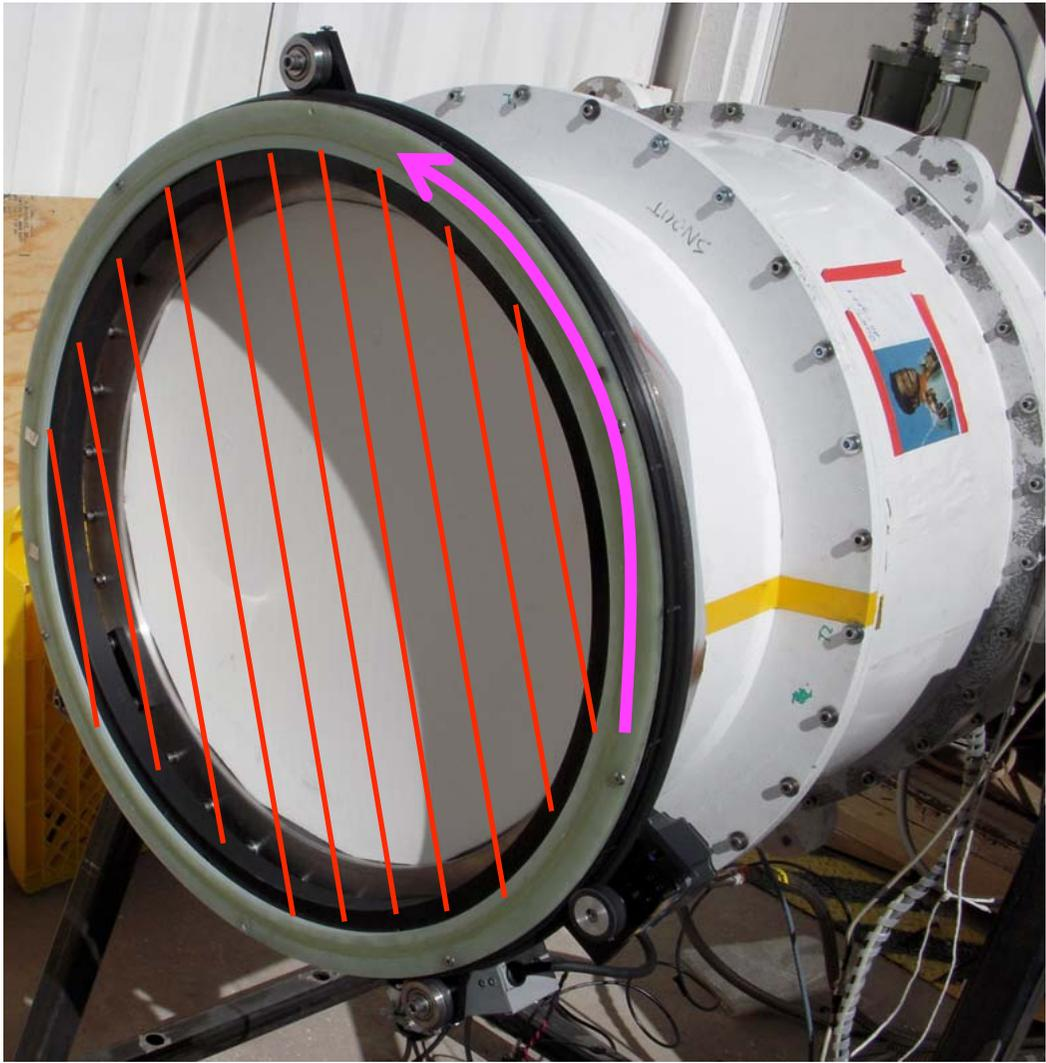
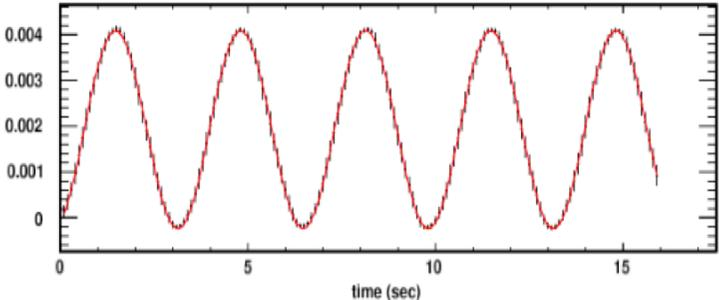
Crab nebula (TauA)  $T_{pol} = 5mK$



“まばらな”ワイヤーをつかった、  
人工的なcalibration



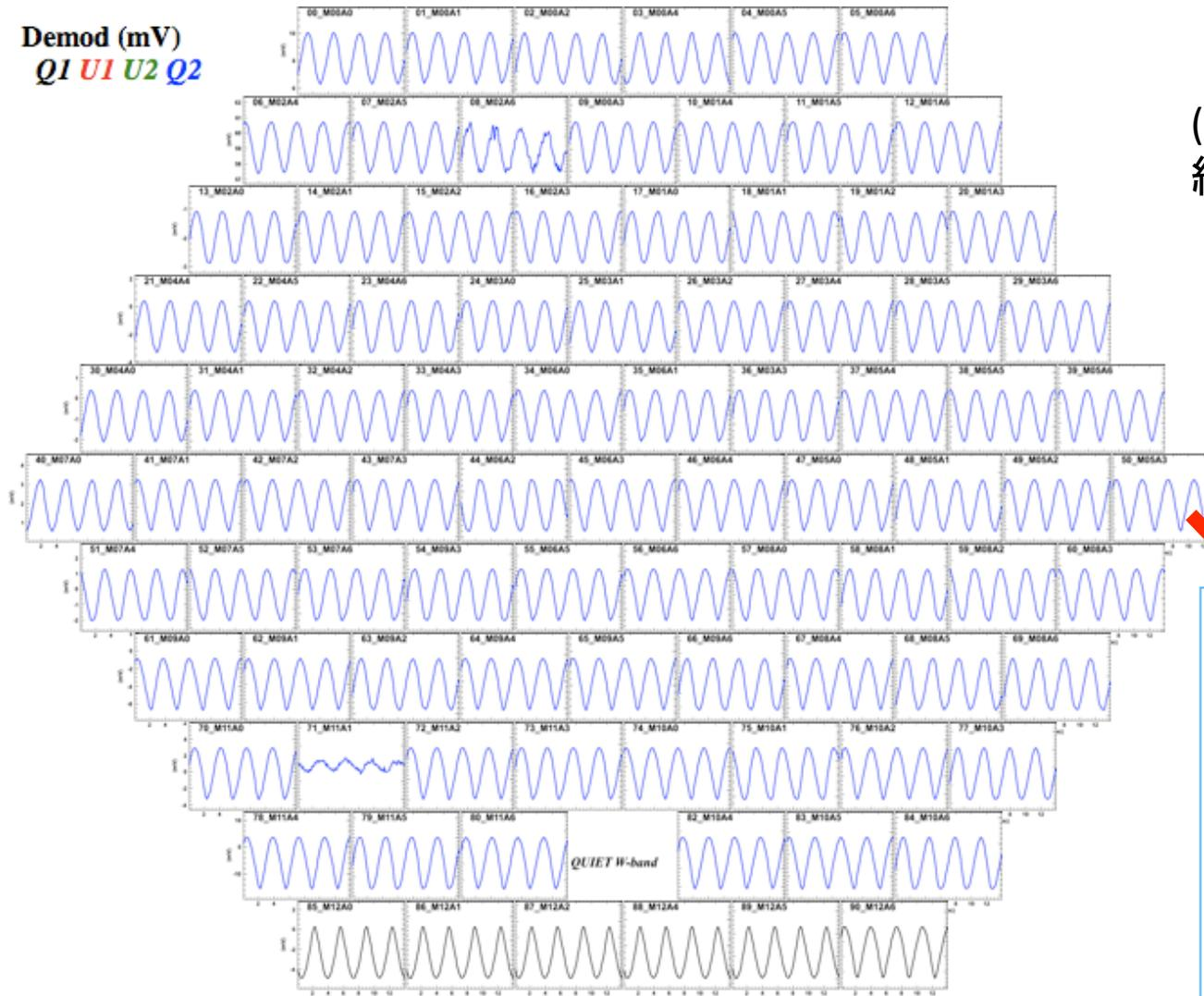
Grid rotates to modulate the polarization



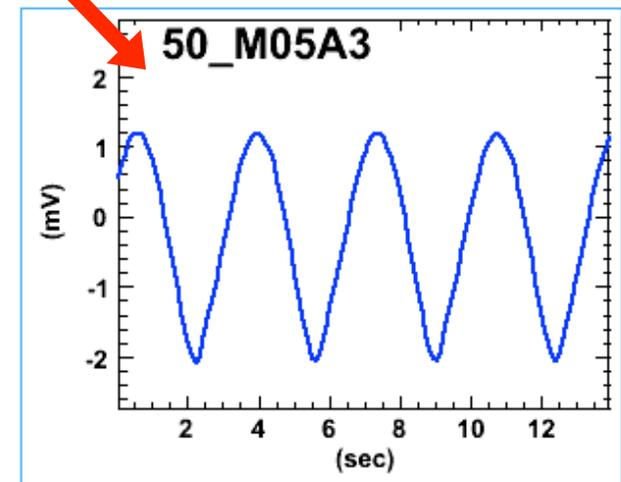
# “まばらな”ワイヤーを使ったCalibration

全チャンネル同時にCalibration！

Demod (mV)  
Q1 U1 U2 Q2



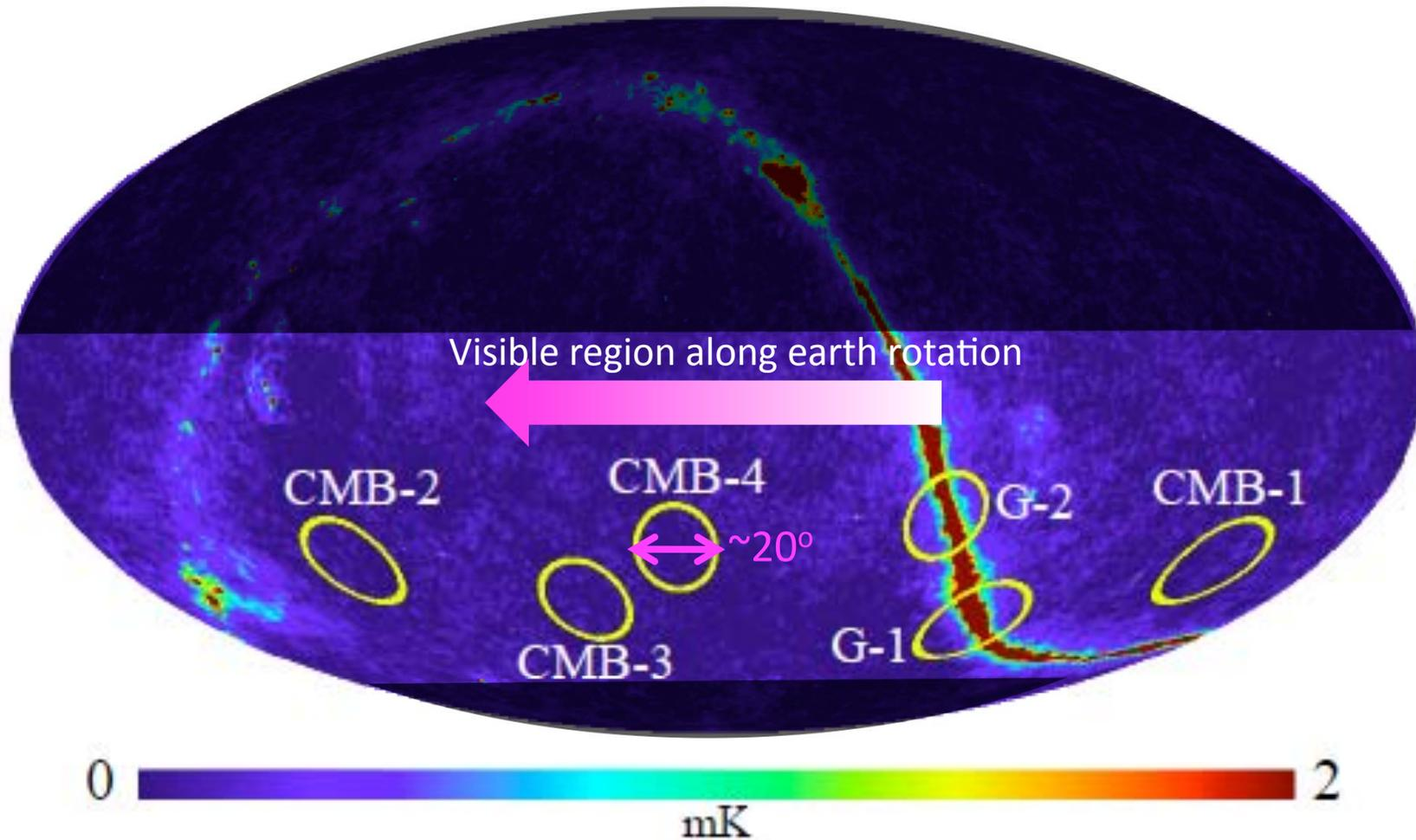
(相対)偏光角度決定精度  
統計誤差: 0.4deg (30sec data)



# CMB偏光の観測ストラテジー

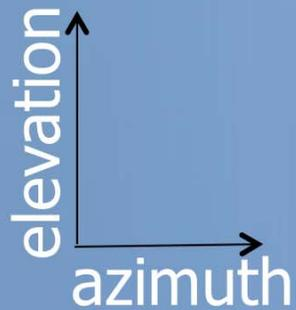


# Observation Patches

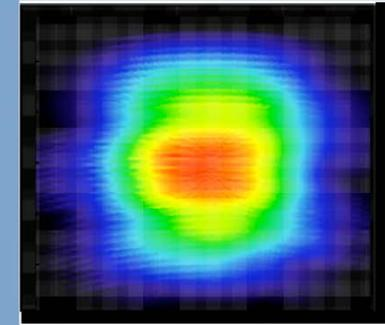


4 CMB patches were chosen (~3% of full sky)  
Observing them DEEPLY (Galaxy observation when CMB patches are not visible)  
Map precision on  $1^\circ \times 1^\circ$ :  $\sim 1\mu\text{K}$  (7.5 months at 43GHz)

# QUIET's Scan Strategy



Scans trace a patch



exposure map  
for one patch



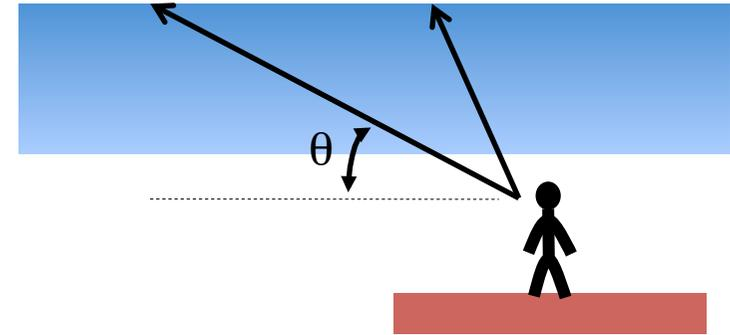
To minimize contamination from the atmosphere,  
telescope scans at fixed the elevation.

# 縦に首をふると大気からの放射強度が変わる

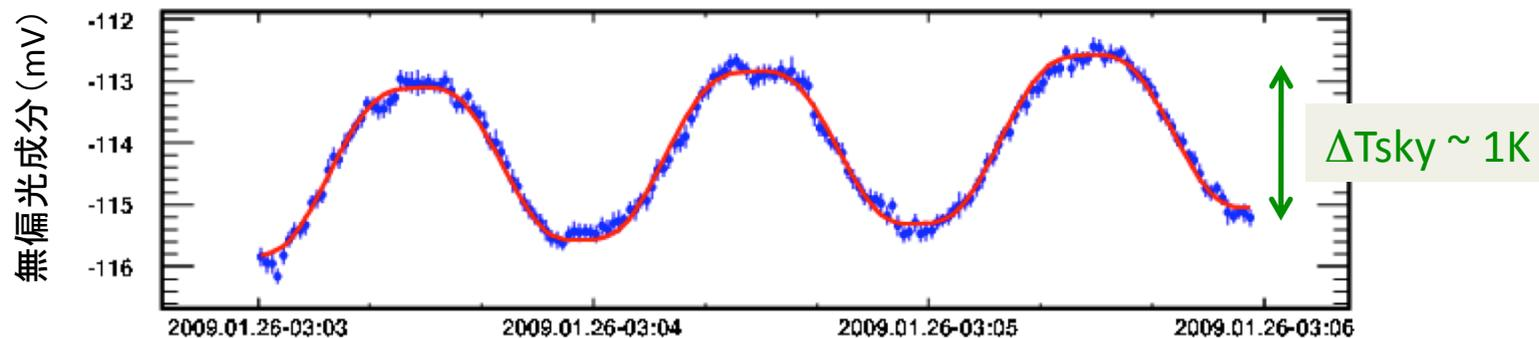
縦に首を振ると....

→ 視野方向の大気の厚みが変わる

⇔ 大気の放射強度が変わる



縦に±3°ふった時の無偏光成分信号の出力変化



大気の放射は無偏光なので、  
一見すると偏光測定には影響がないように見えるが...

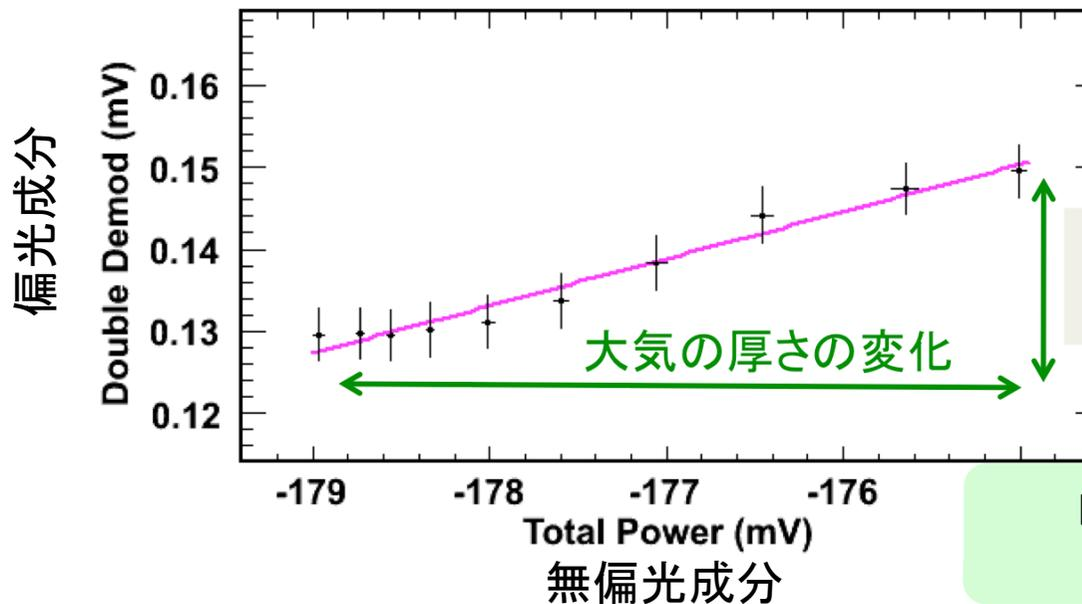
無偏光 (I)  $\rightarrow$  偏光 (Q/U) への”クロストーク”

# I $\rightarrow$ Q/U Leakage

Septum Polarizerでの微小なクロストーク  
(導波管の世界の出来事なので時間変化しない)



首を縦にふる校正スキャン



偏光信号出力の  
baseline の変化

I  $\rightarrow$  Q/U leakage :  $0.6 \pm 0.1$  %  
(Q-band レシーバー平均)

縦に首を振ると偽の偏光信号がbaselineを揺るがす,

e.g.  $\Delta T_{\text{sky}} = 1\text{K} \rightarrow 600\text{uK} \gg \sim\text{uK (E-modes)} \gg \text{B-modes}$

$\rightarrow$  Constant Elevation Scanの採用して、偏光信号の揺らぎを抑制!

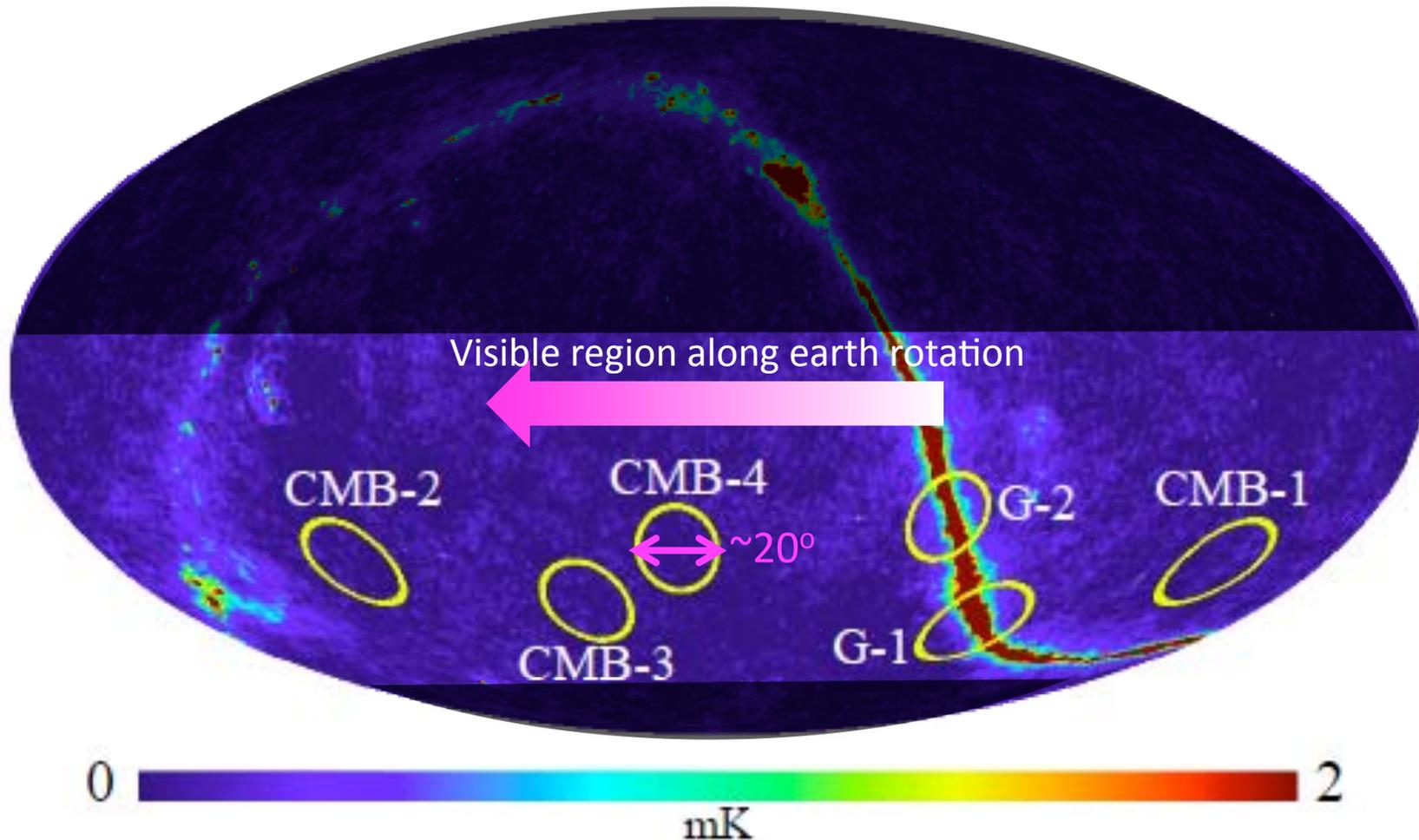
# 実際の観測の様子



## Constant Elevation Scan

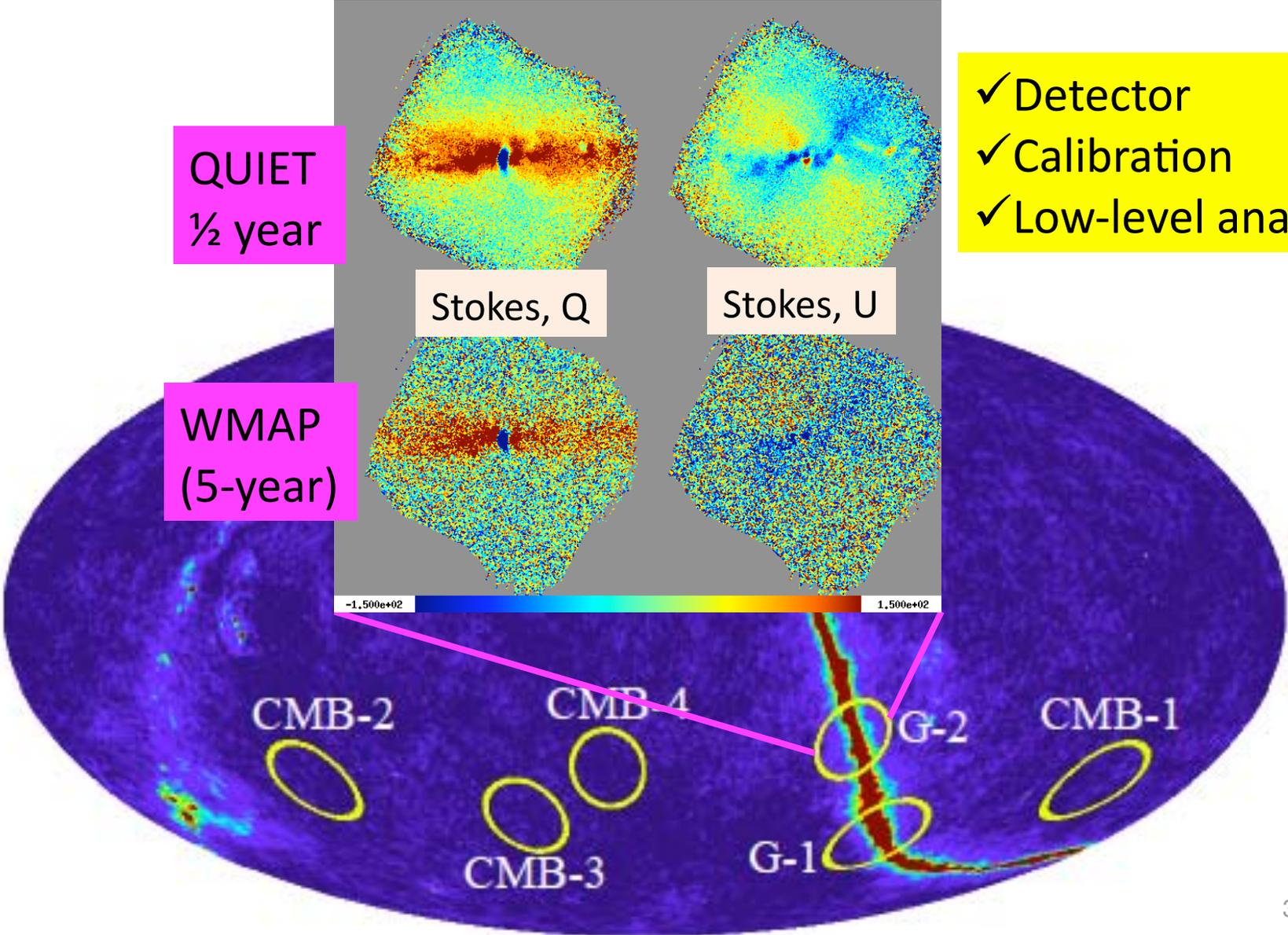
検出器のクロストーク( $I \rightarrow Q/U$  leakage)の影響を最小限にするスキャンストラテジー

# Observation Patches

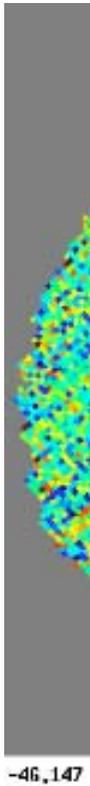
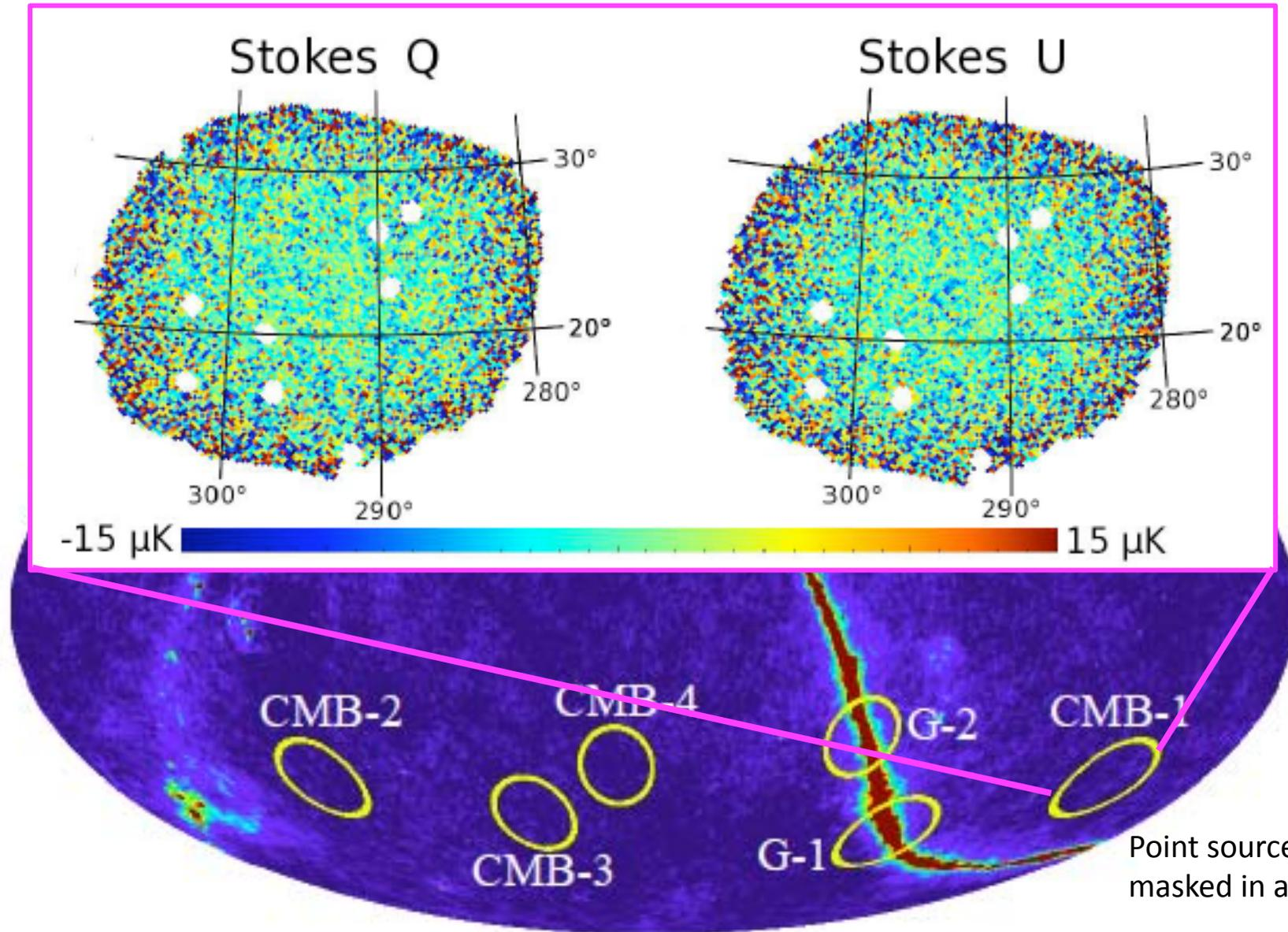


4 CMB patches were chosen (~3% of full sky)  
Observing them DEEPLY (Galaxy observation when CMB patches are not visible)  
Map precision on  $1^\circ \times 1^\circ$ :  $\sim 1\mu\text{K}$  (7.5 months at 43GHz)

# QUIET Polarization Map for Galactic Center

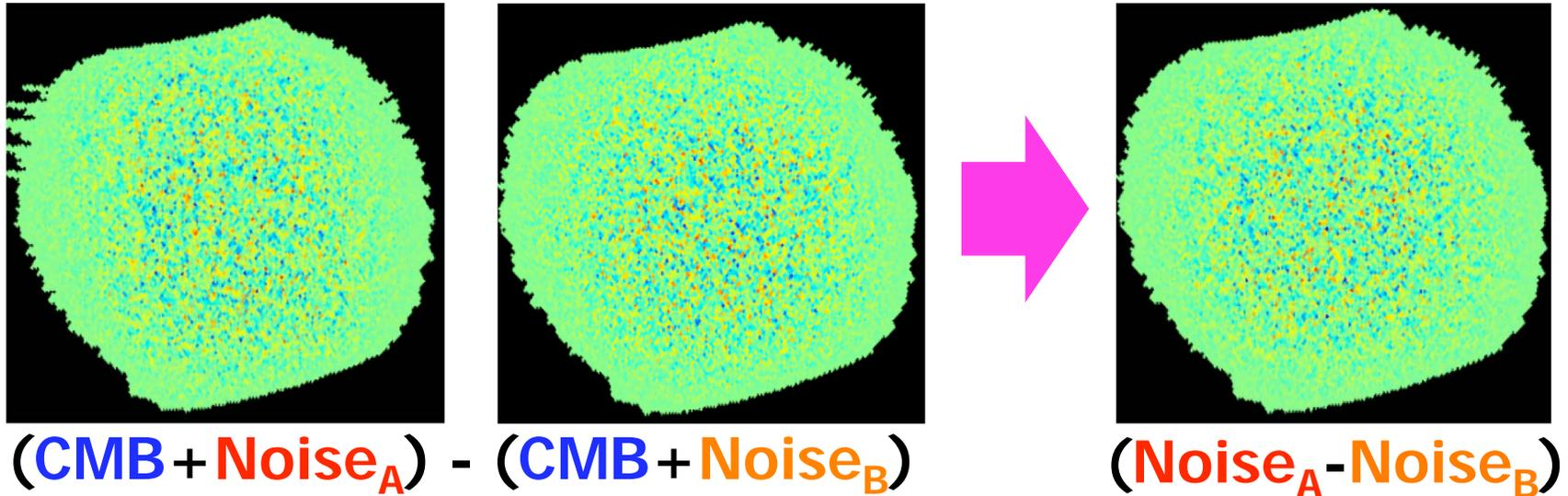


# QUIET CMB Polarization Map

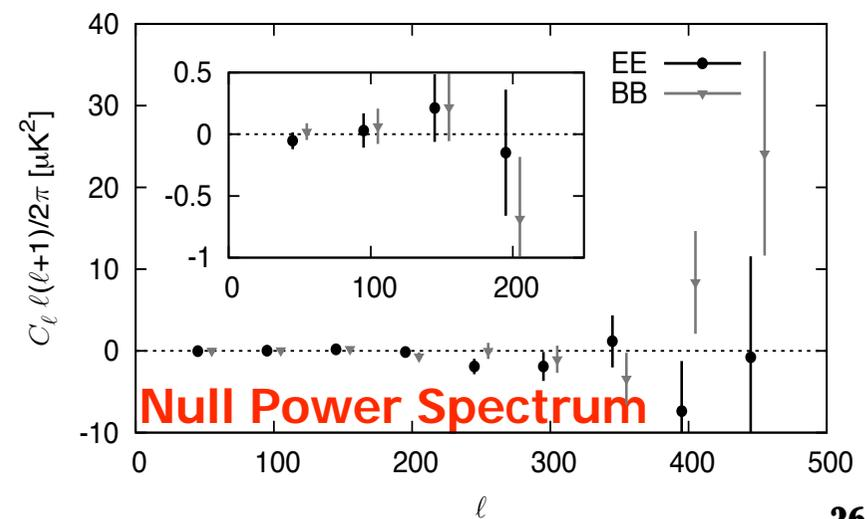


# Analysis Validation: Null Test

- Divide data set into two maps, difference them.

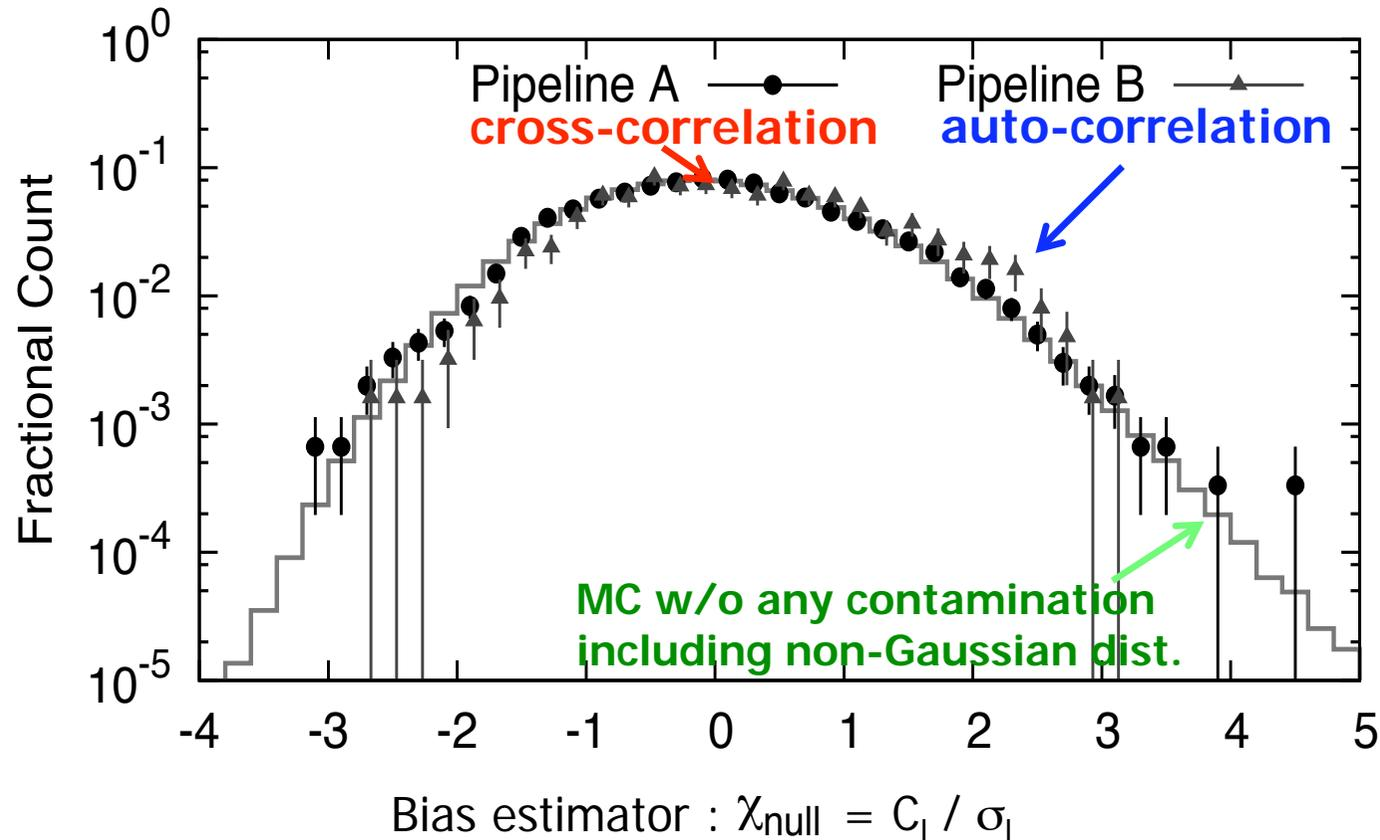


- Calculate “null” power spectrum
- Perform 42 data divisions
  - Q vs. U channels
  - weather conditions
  - cryostat temperature



# Null Test: $\chi_{\text{null}}$ distribution

- Mean shift of  $\chi_{\text{null}}$  **dist.** is sensitive to detect biases which have not been removed



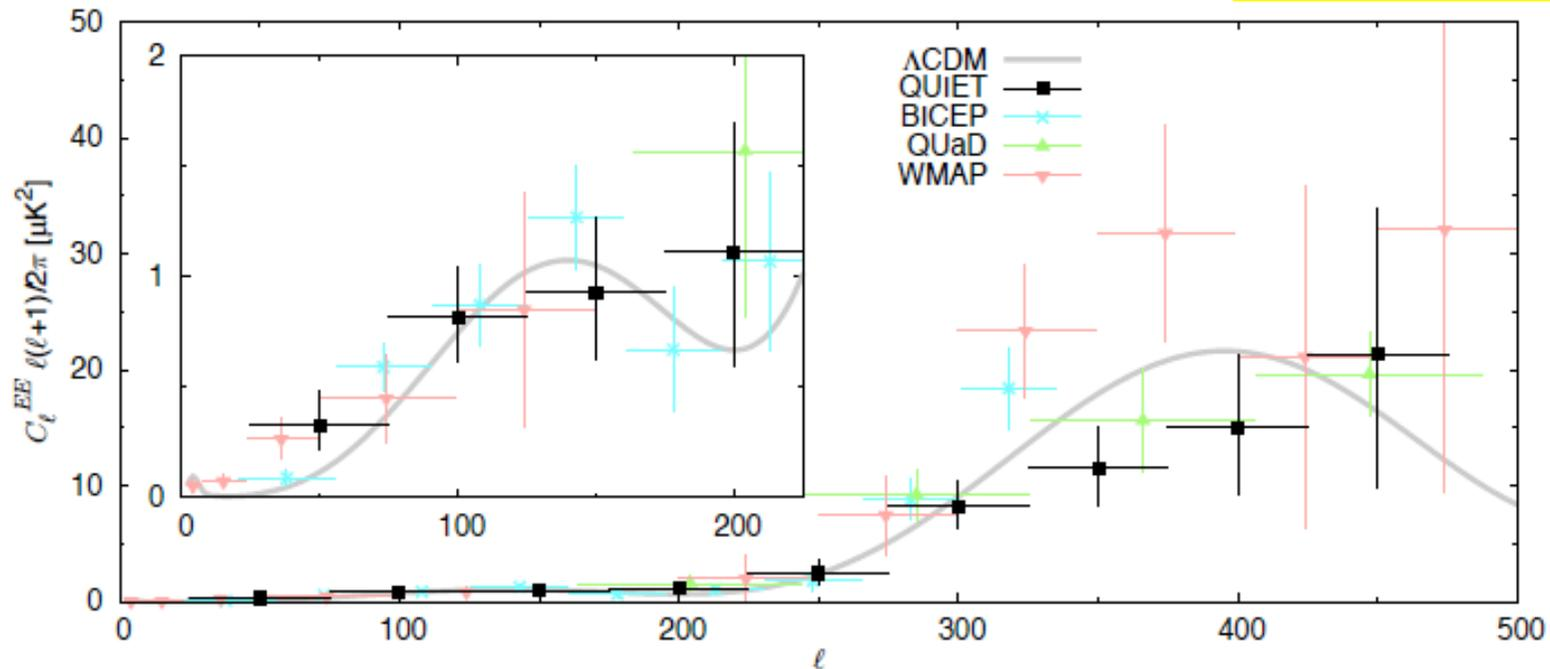
- Cross-correlation successfully removed the residual bias

**We passed null test ! Ready to open the box !!**

# E-modes

Strong proof of instrument and analysis

- ✓ Detector
- ✓ Calibration
- ✓ Low-level analysis
- ✓ High-level analysis



Significant power is detected at 1<sup>st</sup>, 2<sup>nd</sup> peak region

Consistent with  $\Lambda$ CDM model

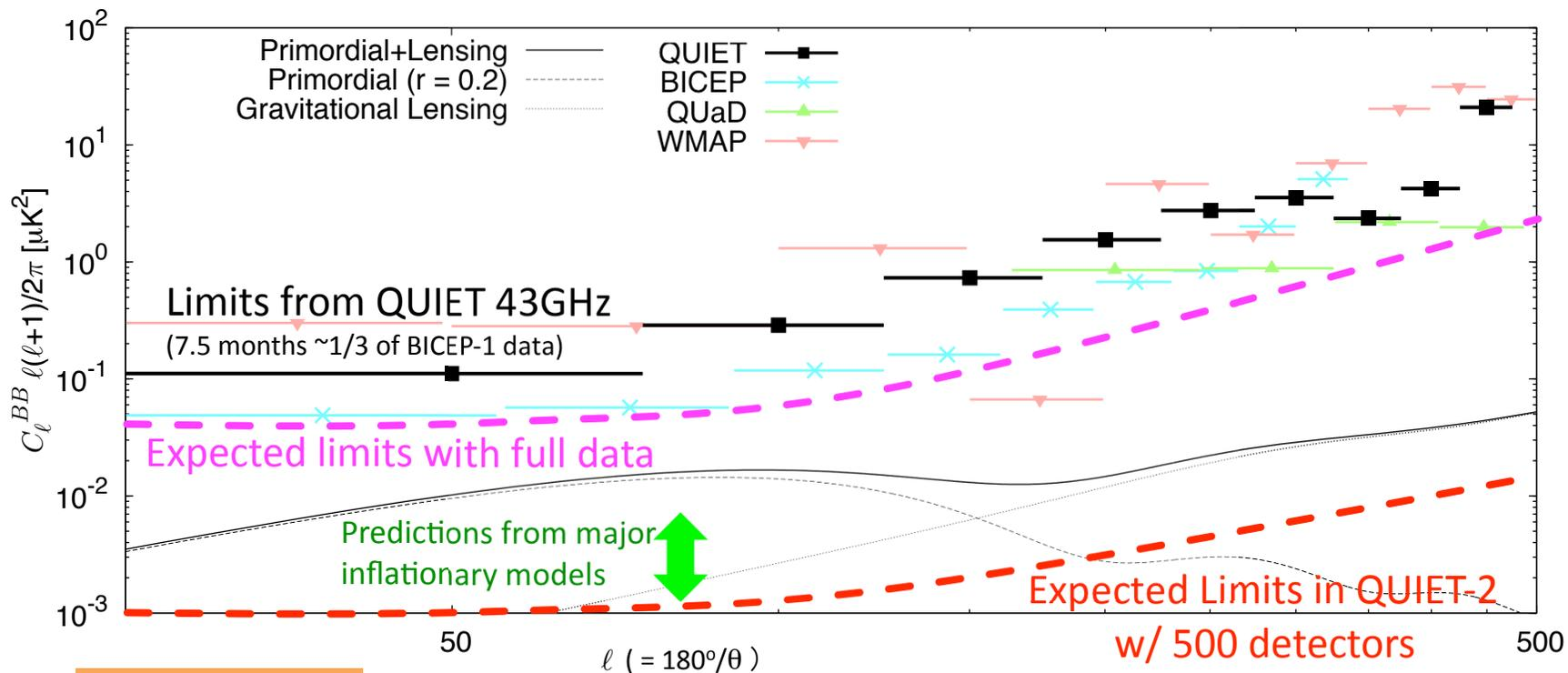
$$\text{QUIET} / \Lambda\text{CDM} = 0.87 \pm 0.10$$

PTE from  $\Lambda$ CDM 14% for EE + BB + EB

# B-modes : $r < 2.2$ @95%CL

(zero-consistent :  $r=0.35^{+1.06}_{-0.87}$ )

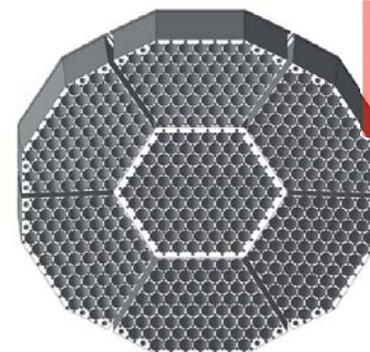
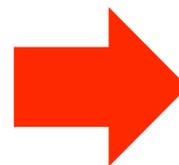
Second best upper limits whereas short observation time



19 detectors



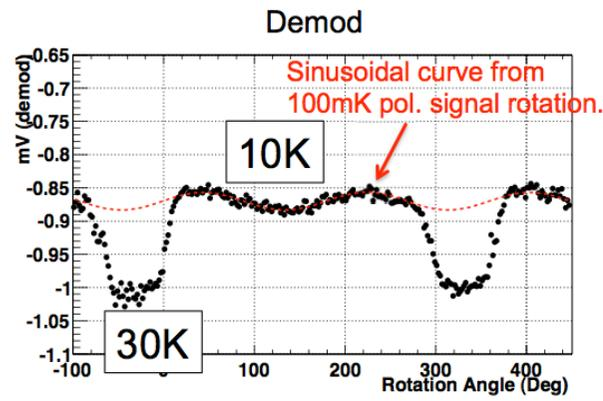
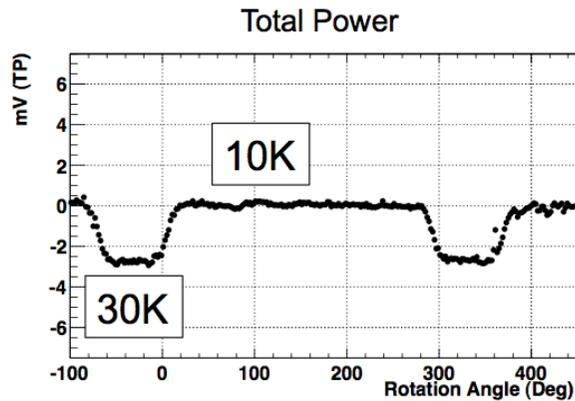
90 detectors



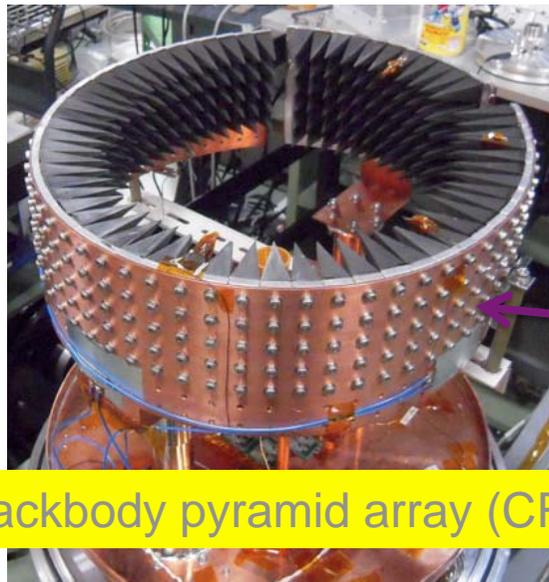
QUIET 2  
500 detectors

# QUIET-IIへ向けたR&D @ KEK

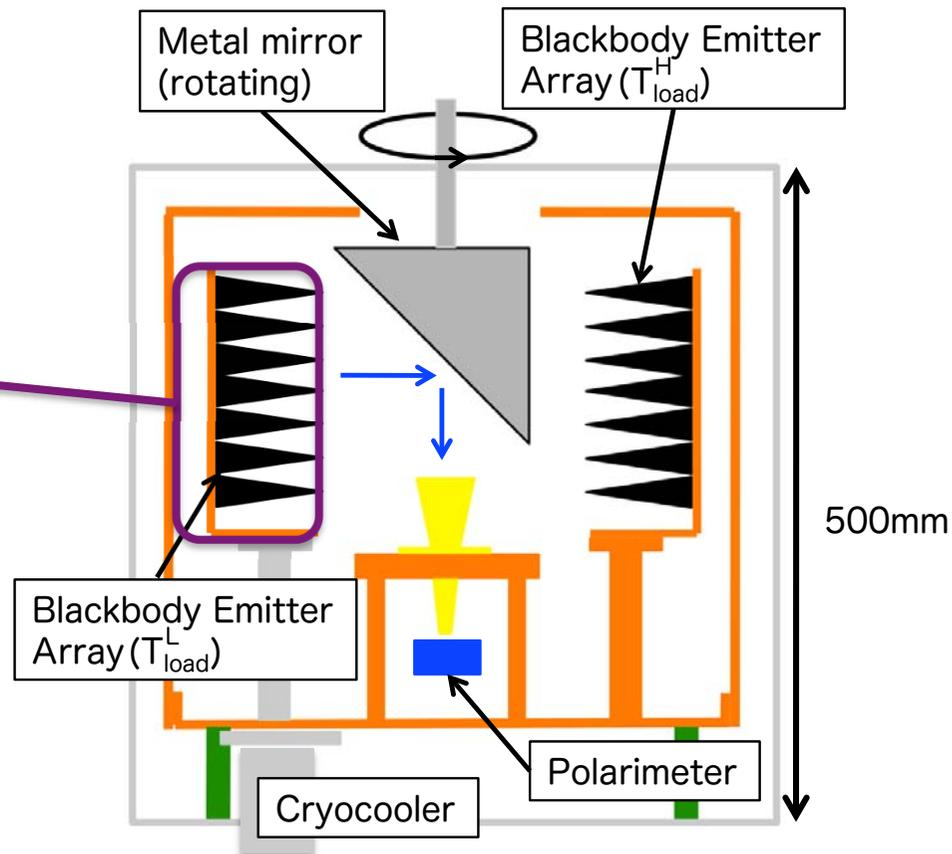
# その1: 検出器の性能評価・チューニングシステム



長谷川

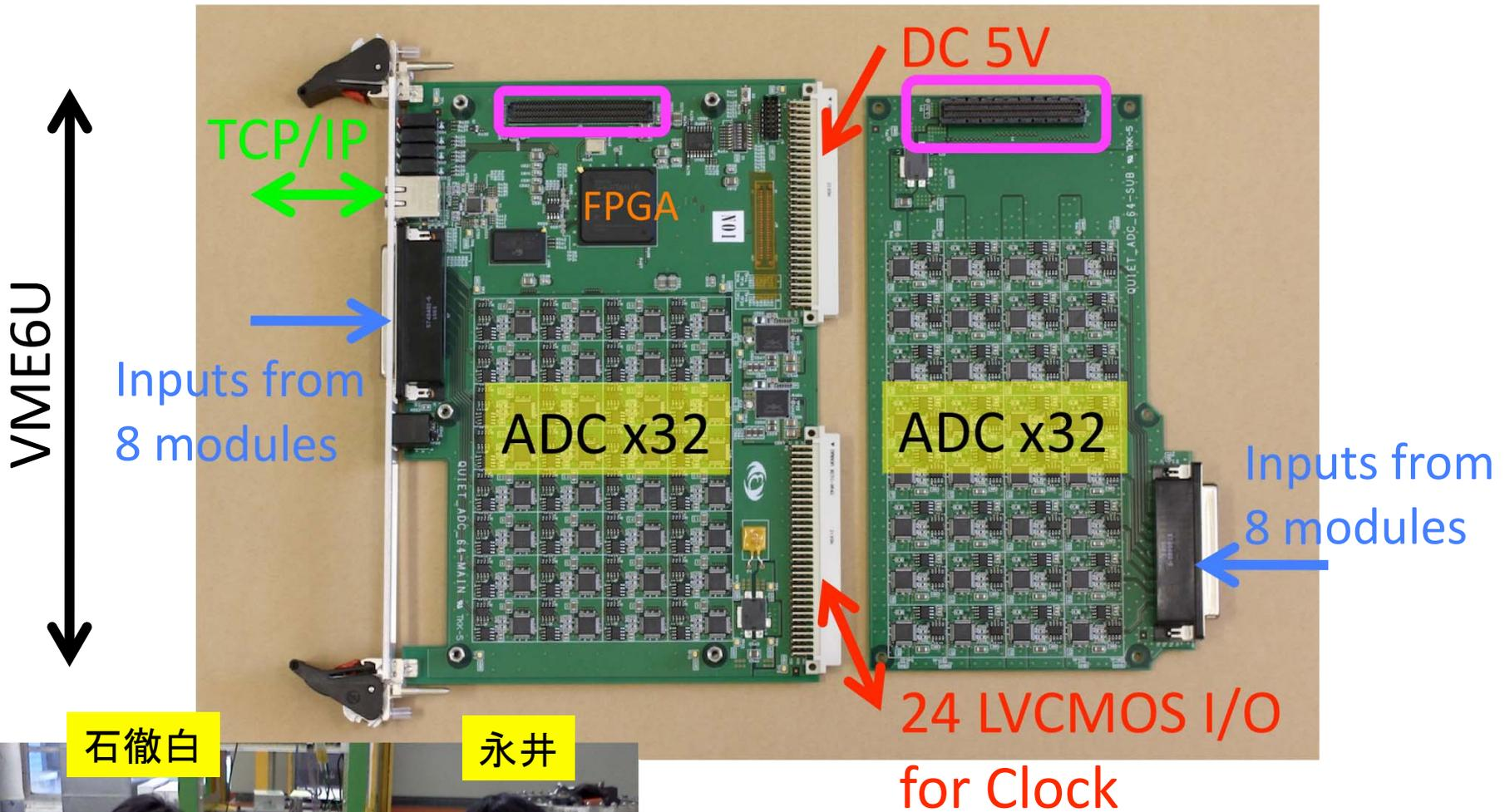


Blackbody pyramid array (CR-112)



初めての日本CMBコミュニティ発の論文  
 M. Hasegawa, O. Tajima *et al.*,  
 Rev. Sci. Instru. 82, 054501 (2011).

# その2: 読み出しエレキ(ADC board)



board  
z, Resolutions18 bits  
ation

x2 density  
⇔ phase-1 ADC board

# Ground-based telescopes

They are also going to implement several hundreds ~ thousand detectors

QUIET 1  
(2008—2010)  
QUIET 2 (201x—)

POLARBEAR  
(2011—)

SPT → SPTPol BICEP1 BICEP2 (2010-) DASI QUAD KECK (2011-)



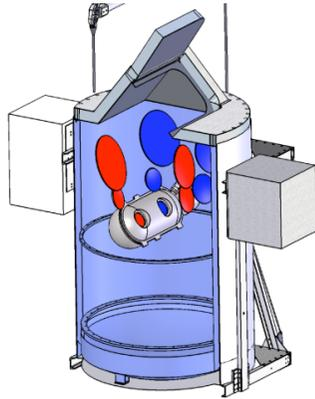
Chile, Atacama  
(~5,000m)

Not shown here are  
ABS, ACTPol, (Atacama)  
Polar (South Pole)

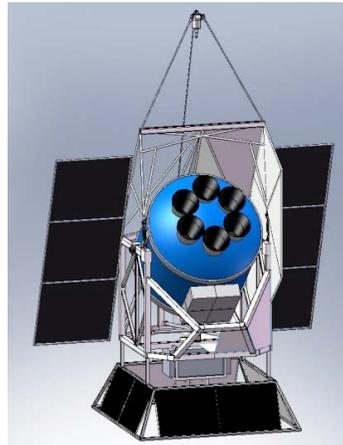
South Pole (2,800m)

Image: S. Richter

# Balloon-borne telescopes



PIPER (2013-)



SPIDER (2011, 2012)

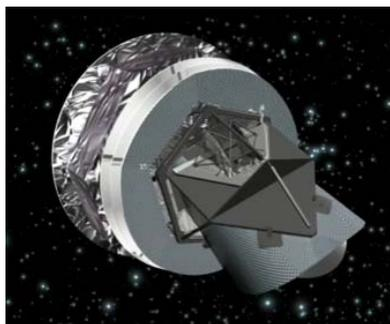


EBEX (2009-2011)

# Satellite Telescopes

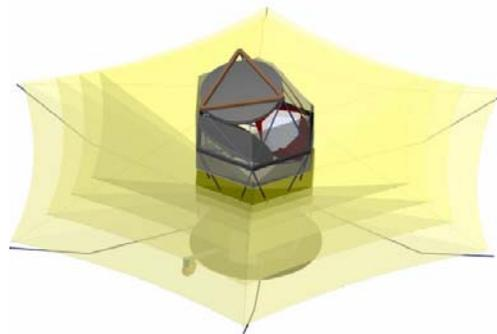
~2020 -

Planck (2009-)

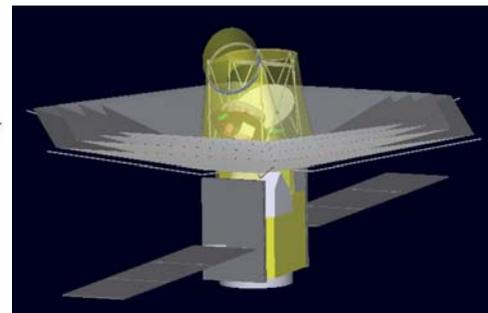


Not optimized for polarization meas.

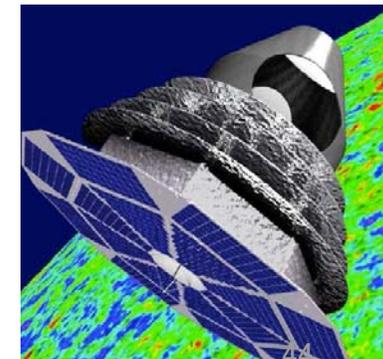
EPIC



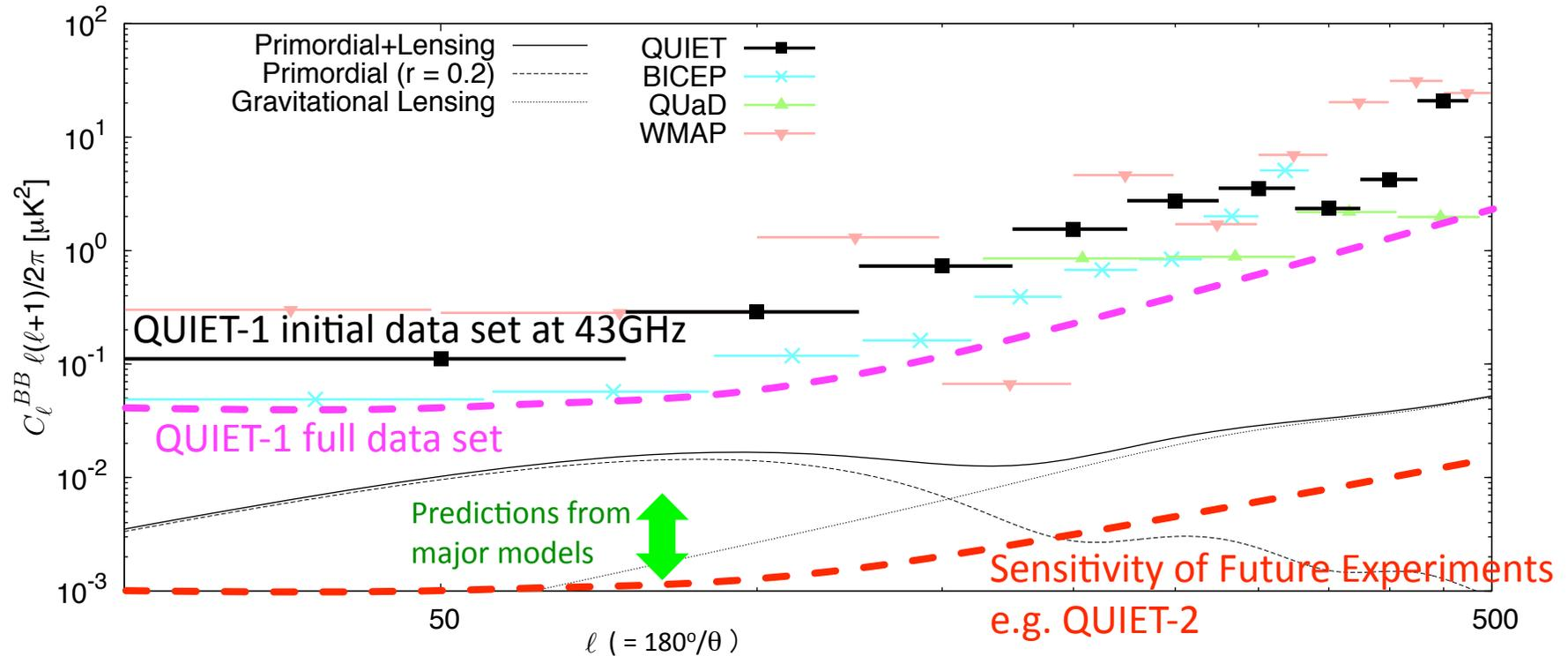
LiteBIRD (日本の計画)



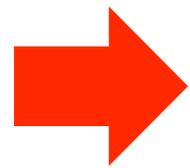
COrE



# B-mode Search in Future

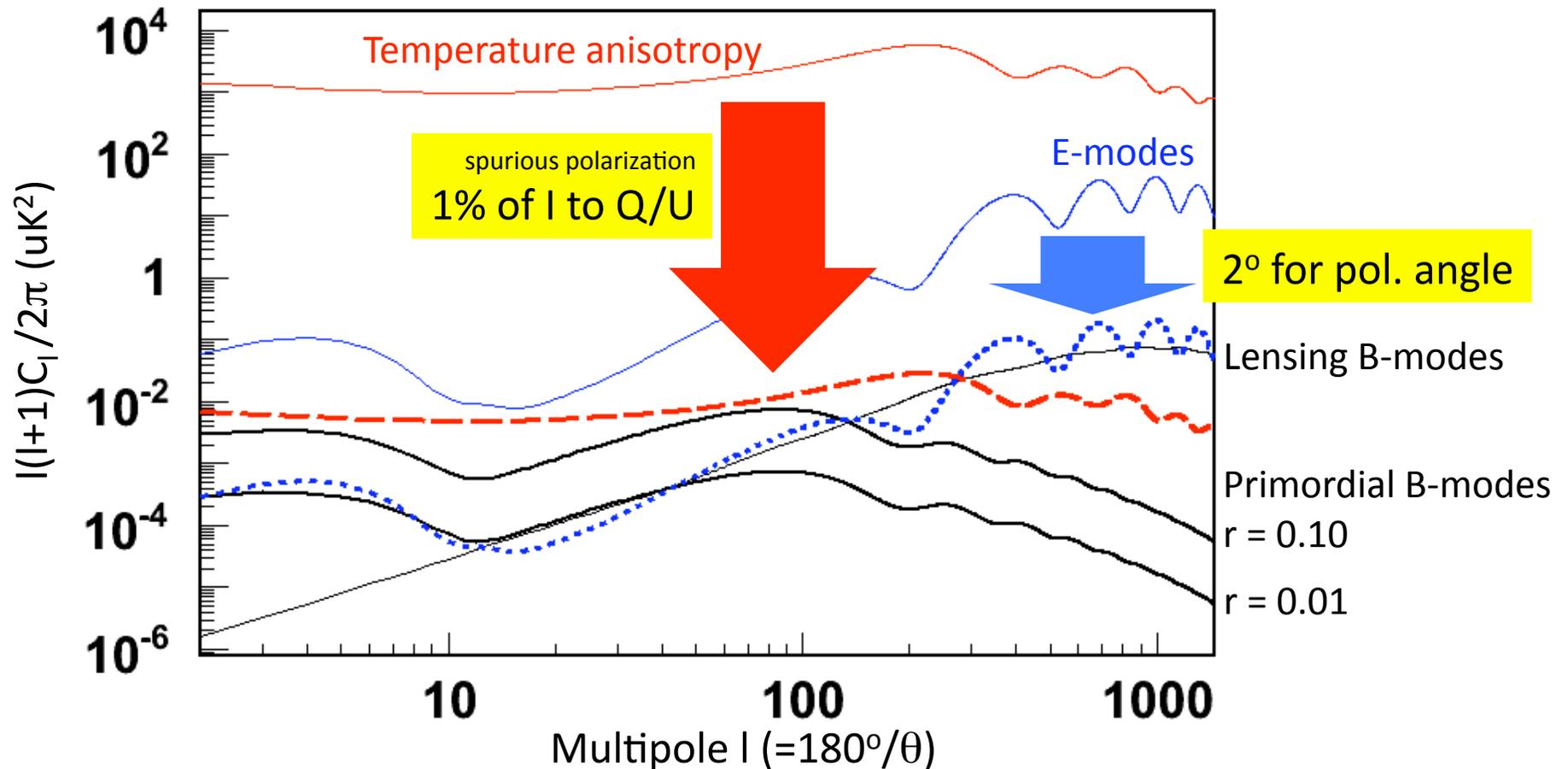


All coming experiments claim good sensitivity  $r = O(0.01)$  or better sensitivity with several hundreds to thousand detectors


 The most important subject for future:  
 Good systematic error control

# Impact of **systematic error**

In case of 1% precision of calibrations ...

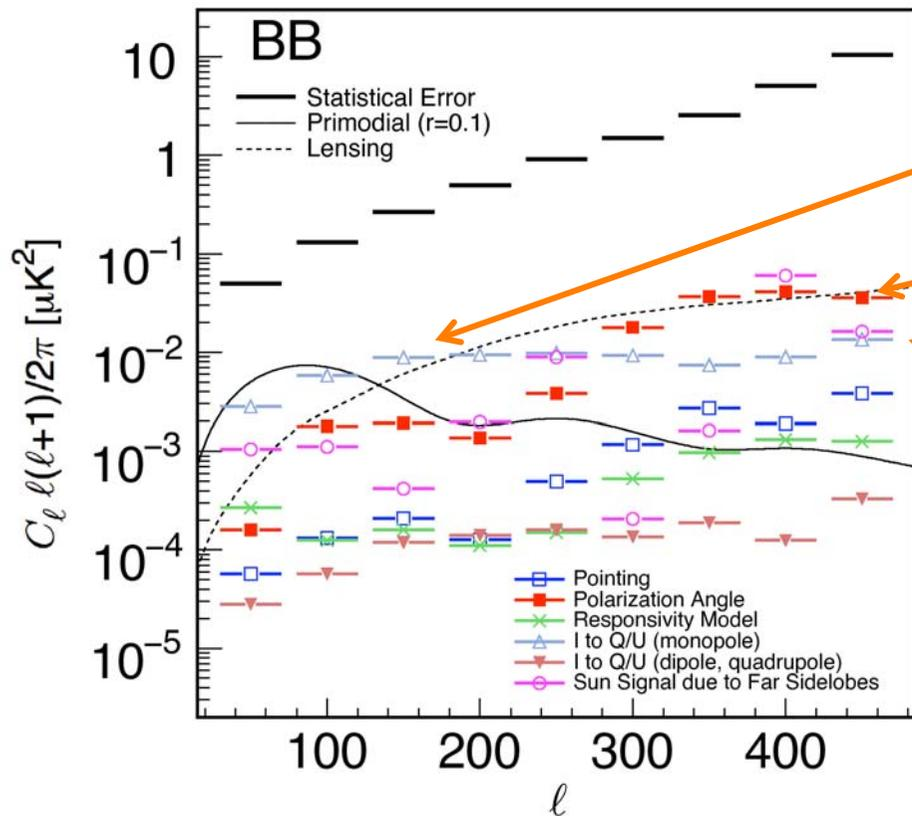


Have to minimize spurious polarization:  $\sim 0.1\%$   
Have to achieve angle precision:  $\sim 0.1^\circ$

# QUIET-1 initial results at 43GHz

[arXiv:1012.3191]

## Least systematic error to date



I → Q/U Leakage (fake pol. signal): < 1%

Possible Angle Uncertainty: 1.7°

Possible residual contamination

B-modes: r = 0.1  
(Inflationary models favor r = 0.01~0.10)

*Extensive study of systematic errors*

- Strong proof of our technology for future
- Good prospects for further syst. error reduction
  - We improved 95GHz instruments and calibrations

# Summary

- CMB偏光の「Bモード」はインフレーション宇宙論の決定的証拠
  - そして、インフレーションは究極の高エネルギー物理でもある： $10^{16}$  GeV
- 多くの実験が本格的なBモード探索に入りつつある
  - 明日にでも、大発見のニュースが飛び交っても不思議ではない!
- ひかえめに言えば、実験手法の確立はいまだ手探り状態
  - 系統誤差の理解など、精密測定に至るための課題は多い
  - QUIET-1は従来実験で最良の系統誤差を達成  
[arXiv:1012.3191] e.g. fake polarization signal: < 1%
- 後発の我々が世界のトップに食い込む余地は大いにある!
- 地上実験の予算規模は5~15億円